



การศึกษาการคำนวณแบบควบคุมตั้มด้วยความต้มด้วยมีเอกลักษณ์  
STUDY ON QUANTUM COMPUTATION BY  
QUANTUM DOT MOLECULE

นายณัฐชัย ถนนธรรม รหัส 52361741

นายนิรวิทช์ ตันวงศ์ รหัส 52361918

ห้องปฏิบัติและวิภากรรนศาสตร์
วันที่รับ..... 1.2.๕๙... 2556.....
เลขทะเบียน..... ๑๖๗๕๔๐๖.....
เลขเรียกานังสือ..... ๘๒.....
มหาวิทยาลัยนเรศวร ๘๓๙๘ ๙ ๒๕๕๖

ปริญญาในพันธ์นี้เป็นส่วนหนึ่งของการศึกษาหลักสูตรปริญญาวิศวกรรมศาสตรบัณฑิต

สาขาวิชาวิศวกรรมไฟฟ้า ภาควิชาวิศวกรรมไฟฟ้าและคอมพิวเตอร์

คณะวิศวกรรมศาสตร์ มหาวิทยาลัยนเรศวร

ปีการศึกษา 2555



## ใบรับรองปริญญาบัณฑ์

ชื่อหัวข้อโครงการ	การศึกษาการคำนวณแบบควบคุมด้วยความตันคงที่ไม่เลกคลุก		
ผู้ดำเนินโครงการ	นายณัฐรัชัย	ถนนธรมรน	รหัส 52361741
	นายนิรพิทธ์	ศันวงษ์	รหัส 52361918
ที่ปรึกษาโครงการ	ดร.สุวิทย์ กิริสวิทยา		
สาขาวิชา	วิศวกรรมไฟฟ้า		
ภาควิชา	วิศวกรรมไฟฟ้าและคอมพิวเตอร์		
ปีการศึกษา	2555		

คณะวิศวกรรมศาสตร์ มหาวิทยาลัยเรศวร อนุนัติให้ปริญญาบัณฑ์ฉบับนี้เป็นส่วนหนึ่ง  
ของการศึกษาตามหลักสูตรวิศวกรรมศาสตรบัณฑิต สาขาวิศวกรรมไฟฟ้า

Savit Kiravittaya ที่ปรึกษาโครงการ

(ดร.สุวิทย์ กิริสวิทยา)

..... กรรมการ

(ดร.นฤทธิ์ สงmargin) กรรมการ

..... กรรมการ

(อ.เศรษฐา ตั้งคำวนิช) กรรมการ

ชื่อหัวข้อรายงาน	การศึกษาการคำนวณแบบค่อนต้มด้วยค่อนต้มคงที่ไม่เลกุล		
ผู้ดำเนินโครงการ	นายณัฐชัย	ถนนธารม	รหัส 52361741
	นายนิรวิทธิ์	ต้นวงศ์	รหัส 52361918
ที่ปรึกษาโครงการ	คร.สุวิทย์ กิริสวิทยา		
สาขาวิชา	วิศวกรรมไฟฟ้า		
ภาควิชา	วิศวกรรมไฟฟ้าและคอมพิวเตอร์		
ปีการศึกษา	2555		

### บทคัดย่อ

ปริญญาบัณฑิตนี้ เป็นการศึกษาเรียนรู้เกี่ยวกับการคำนวณแบบค่อนต้มด้วยค่อนต้มคงที่ไม่เลกุล โดยในการคำนวณแบบค่อนต้ม จะเป็นการคำนวณโดยอาศัย กลศาสตร์ ค่อนต้ม ซึ่งเป็น กฎทางฟิสิกส์สำหรับระบบของค่อนและไม่เลกุล และ การคำนวณแบบค่อนต้มนี้ ถูกแสดงให้เห็นแล้วว่า สามารถใช้ในการแก้ปัญหางานปัจจุหาได้รวดเร็วกว่าการคำนวณแบบดั้งเดิม สำหรับในปริญญาบัณฑิตนี้ เราจะนำเสนอ การแก้ปัญหาการแยกตัวประกอบของจำนวนเฉพาะ ด้วยระเบียบวิธีของซอฟต์ โดยการกำหนดค่าตัวเลข ด้วยสถานะของอิเล็กทรอน ในการสร้างค่อนต้มคงที่ไม่เลกุล ทำให้เราสามารถนำ โครงสร้างค่อนต้มคงที่ไม่เลกุลนี้ มาใช้เป็นเครื่องคำนวณแบบค่อนต้มได้

<b>Project title</b>	Study on Quantum Computation by Quantum Dot Molecule		
<b>Name</b>	Mr. Nathachai Thanomtham	ID. 52361741	
	Mr. Nirawit Tonwong	ID. 52361918	
<b>Project advisor</b>	Dr. Suwit Kiravittaya		
<b>Major</b>	Electrical Engineering		
<b>Department</b>	Electrical and Computer Engineering		
<b>Academic year</b>	2012		

---

### Abstract

This project is a study on quantum computation by quantum dot molecule. Quantum computation is a computation based on quantum mechanics, which is a physical law for atomic and molecular systems. It has been shown that this computation can efficiently solve some kind of problem as compared to the classical one. For this project, we present Shor's algorithm for prime number factorization. By relating numbers to the states of electrons in quantum dot molecular structure, one can use quantum dot molecules as quantum computer.

## กิตติกรรมประกาศ

โครงงานนี้สำเร็จลุล่วงไปได้ด้วยความกรุณาเป็นอย่างยิ่งจาก ดร. สุวิทย์ กิริสวิทยา ซึ่งเป็นอาจารย์ที่ปรึกษาของโครงงาน และได้เคยชี้แนะแนวทางตลอดการทำงานในโครงงานนี้ คณะผู้ดำเนินโครงงานจึงขอกราบขอบพระคุณเป็นอย่างสูง และขอระลึกถึงความกรุณาของท่านไว้ตลอดไป

ขอขอบคุณ คณาจารย์ทุกท่าน ที่ประสิทธิ์ประสาทวิชาความรู้ ให้กับ คณะผู้ดำเนินโครงงาน นอกจากนี้ ยังต้องขอขอบคุณ ภาควิชาศิลปกรรม ไฟฟ้าและคอมพิวเตอร์ ที่ให้ใช้ห้องเพื่อศึกษาโครงงาน จนทำให้การทำการทำโครงงานสำเร็จลุล่วงไปได้

เห็นอีสิ่งอื่นใด คณะผู้ดำเนินโครงงาน ขอกราบขอบพระคุณบิความร่า ผู้มอบความรัก เมตตา สติปัญญา รวมทั้งเป็นผู้ให้ทุกสิ่งทุกอย่างตั้งแต่วัยเยาว์ จนจนปัจจุบัน อยู่เป็นกำลังใจ ให้ได้รับความสำเร็จอย่างทุกวันนี้ และขอบคุณ ทุก ๆ คนในครอบครัว ของคณะผู้ดำเนินโครงงาน ที่ไม่ได้กล่าวไว้ ที่นี่ด้วย

นายณัฐรัชัย ถนนธรรม

นายนิรวิทธ์ ตันวงศ์

# สารบัญ

หน้า

ใบรับรองปริญญานิพนธ์.....	ก
บทคัดย่อภาษาไทย.....	๑
บทคัดย่อภาษาอังกฤษ.....	๑
กิตติกรรมประกาศ.....	๑
สารบัญ.....	๑
สารบัญตาราง.....	๗
สารบัญรูป.....	๗
บทที่ 1 บทนำ.....	1
1.1 ความเป็นมาของปัญหา .....	1
1.2 จุดผ่อง各行ของการศึกษา.....	2
1.3 ขอบเขตของโครงการ .....	2
1.4 ขั้นตอนและแผนการดำเนินงาน.....	3
1.5 ประโยชน์ที่คาดว่าจะได้รับจากโครงการ .....	3
1.6 งบประมาณ .....	3
บทที่ 2 หลักการและทฤษฎี.....	4
2.1 ความคืบหน้า.....	4
2.2 ความคืบหน้าโน้ตเลกูต .....	6
2.3 พื้นฐานการคำนวณแบบความต้ม .....	8
2.4 เปรียบเทียบข้อมูลบิต (Bit) กับ ควอนบิต (Qubit) .....	10
2.5 ประโยชน์ของการคำนวณแบบความต้มในด้านต่างๆ .....	13
2.6 พื้นฐานวิธีเชิงความต้ม (Quantum algorithms).....	14
2.7 การแยกตัวประกอบด้วยอัลกอริทึม (Algorithms for quantum computation) .....	15
บทที่ 3 การคำนวณแบบความต้มด้วยความต้มคือท โน้ตเลกูตแบบบู่ .....	18
3.1 สถานะของควอนบิตในโครงสร้างความต้มคือท และ ความต้มคือท โน้ตเลกูตแบบบู่ .....	18
3.2 การคำนวณ โดยใช้อัลกอริทึมแบบความต้ม .....	22

## สารบัญ(ต่อ)

หน้า

บทที่ 4 ผลการคำนวณแบบคุณต้ม .....	27
4.1 การคำนวณแบบคุณต้มเพื่อใช้ในการแยกตัวประกอบของจำนวนเฉพาะ อธิบายโดย วิธีขั้ลกอริทึมของชอร์ (Shor's Algorithm) .....	27
4.2 ตัวอย่างการแยกตัวประกอบจำนวนเฉพาะด้วยวิธีขั้ลกอริทึมของชอร์ .....	28
4.3 เปรียบเทียบการคำนวณแบบคุณต้มกับการคำนวณแบบดั้งเดิม .....	34
บทที่ 5 สรุปผลและข้อเสนอแนะ .....	35
5.1 สรุปผลจากการศึกษา .....	35
5.2 ปัญหาและแนวทางแก้ไข .....	36
เอกสารอ้างอิง .....	37
ภาคผนวก ก รายละเอียดเกี่ยวกับ Matlab Code ที่ใช้ในการแยกตัวประกอบด้วยวิธีของชอร์ .....	38
ภาคผนวก ข รายละเอียดเกี่ยวกับ Matlab Code ที่ใช้ในการพล็อตกราฟเปรียบเทียบความเร็วของ การคำนวณแบบคุณต้มกับการคำนวณแบบดั้งเดิม .....	42
ประวัติผู้ดำเนินโครงการ .....	44

## สารบัญตาราง

ตารางที่	หน้า
2.1 แสดงการเปรียบเทียบข้อมูลบิท และ คิวบิท .....	11
2.2 ระบบทางภาษาพหุของคิวบิท.....	12
3.1 ตารางค่าความจริงของเกตคลับค่าแบบถูกควบคุม .....	23



## สารบัญรูป

รูปที่	หน้า
2.1 ลักษณะโครงสร้างความตื้น ..... .....	4
2.2 โครงสร้างความตื้นด้วยของสารกึ่งตัวนำ ..... .....	6
2.3 แสดงถึงของความตื้นด้วยไม้เล็กบนสารกึ่งตัวนำ ..... .....	7
2.4 ภาพจาก การวัดค่ายกส่องจุลทรรศน์แรงอะตอม ..... .....	8
2.5 แสดงตัวอย่างการหับช้อนของอนุภาค ไฟฟ่อน ..... .....	9
2.6 ขั้นตอนการทำแบบวิธีของ คอบช์ – จอสชา บนสองคิวบิต ..... .....	14
2.7 แผนภาพแสดงการแยกตัวประกอบของจำนวนเฉพาะ ..... .....	17
3.1 แสดงสถานะของคิวบิตในโครงสร้างความตื้นด้วยและความตื้นด้วยไม้เล็กแบบคู่ ..... .....	18
3.2 การแทนค่าคิวบิตด้วยเวกเตอร์ที่ใช้ไปบนผิวทรงกลมบล็อก ..... .....	19
3.3 แสดงระดับพลังงานในโครงสร้างของความตื้นด้วย ..... .....	20
3.4 แสดงการเปลี่ยนระดับพลังงานในโครงสร้างของความตื้นด้วยไม้เล็กแบบคู่ ..... .....	20
3.5 แสดงระดับพลังงานในโครงสร้างของความตื้นด้วยไม้เล็กแบบคู่ทั้งหมด ..... .....	21
3.6 แสดงสัญลักษณ์ของเกตขาานาร์ค ..... .....	23
3.7 แสดงสัญลักษณ์ของเกตกลับค่าแบบถูกควบคุม ..... .....	24
3.8 การแปลงคิวบิต โดยใช้เกตยูนิเวอร์ซอล ..... .....	26
3.9 รูปสัญลักษณ์ของ เกตยูนิเวอร์ซอล ..... .....	26
4.1 กราฟการแปลงฟูเรียร์แบบเร็วของการแยกประกอบ 21 โดยที่มีค่า a เท่ากับ 8 ..... .....	29
4.2 กราฟการแปลงฟูเรียร์แบบเร็วของการแยกประกอบ 33 โดยที่มีค่า a เท่ากับ 10 ..... .....	31
4.3 เปรียบเทียบการคำนวณแบบความตื้นกับการคำนวณแบบดั้งเดิม ..... .....	34

## บทที่ 1

### บทนำ

#### 1.1 ความเป็นมาของปัญหา

ในปัจจุบัน เครื่องคอมพิวเตอร์ที่เราใช้ในการทำงานทั่วไป มีความเร็วในการประมวลผล ก่อนข้างจำกัด โดยความลึกสัญญาณทางพิกัดสูงสุด ที่คอมพิวเตอร์ทั่วไป สามารถทำงานได้อยู่ที่ ประมาณ 3 กิกะเฮิรตซ์ นักวิทยาศาสตร์บางกลุ่ม ได้ค้นคิด และศึกษา การคำนวณแบบใหม่ ที่ต่าง จากการคำนวณแบบดั้งเดิม เพื่อให้การคำนวณมีประสิทธิภาพมากขึ้น โดยการคำนวณแบบ ค่อนต้ม (Quantum computation) เป็นการคำนวณชนิดหนึ่งที่ถูกค้นคิดขึ้น โดยในการคำนวณชนิด นี้ สามารถใช้ โครงสร้าง ค่อนต้มคอหโมเลกุล (Quantum dot molecule) ใน การสร้าง คอมพิวเตอร์ที่อาศัยการคำนวณแบบค่อนต้ม

ค่อนต้มคอห (Quantum dot) เป็นโครงสร้างที่สามารถถูกเก็บอิเล็กตรอน ได้ทุกทิศทาง โครงสร้าง ค่อนต้มคอห นี้ สามารถสร้าง ได้จาก สารประกอบกึ่งตัวนำ (Semiconductor compound) เช่น อินเดียมอาเซไนด์ ใน แก้วเลียนอาร์เซไนด์ (InAs/GaAs) และ เป็นโครงสร้างที่มีขนาดเล็ก ในระดับนาโนเมตร สำหรับ โครงสร้างของค่อนต้มคอห โมเลกุล (Quantum dot molecule) ก็คือ โครงสร้างค่อนต้มคอห ที่อยู่ใกล้กันมาก จนเกิดการควบคู่ (coupled) กัน เมื่อมอง โครงสร้าง ค่อนต้มคอห โมเลกุล นี้ ผ่านเครื่องมือที่สามารถสำรวจ โครงสร้างระดับนาโน จะ มองเห็นว่า โครงสร้างนี้มีลักษณะเป็นจุด อยู่ใกล้กัน

หลักการทำงานของคอมพิวเตอร์ โดยทั่วไป คือมีการเก็บและประมวลผลตัวเลข ที่เป็น เลขฐานสอง โดย นิยามขนาดของข้อมูล ในหน่วย ไบナรี่ ดิจิต (Binary digit) หรือ บิต (Bit) ซึ่งเป็น พื้นฐานที่ใช้บอกสถานะของข้อมูล ข้อมูลหนึ่งบิต มีสองสถานะ คือ 0 กับ 1 ตามนิยามของ เลขฐานสอง ในกรณีของ การคำนวณแบบค่อนต้ม จะใช้สถานะของอนุภาคเป็นตัวแทนของบิต แต่เมื่อจาก คุณสมบัติของระบบทางค่อนตัมที่สามารถสร้าง สถานะทับซ้อน (Superposition state) ได้ ทำให้สถานะของอนุภาคตัวเดียวนี้ สามารถนำมาแทนสถานะระหว่าง 0 และ 1 ได้ โดย อาศัยหลักการของความน่าจะเป็น ซึ่งจะทำให้สามารถทำการประมวลข้อมูลที่อยู่ระหว่าง 0 และ 1 ได้ เราเรียก ข้อมูลที่มีคุณสมบัตินี้ว่า ค่อนตัมบิต (Quantum bit) หรือ ควิบิต (Qubit) จาก ทฤษฎี ข่าวสาร (Information theory) เราทราบว่า เมื่อ นำหาลาง ๆ บิตมาต่อกัน เราจะสามารถแทนสถานะ หรือข้อมูล ได้หลายรูปแบบมากขึ้น อย่างเช่น ถ้ามีข้อมูลขนาด 3 บิต เราจะสามารถเก็บข้อมูลได้ 8 สถานะ เป็นต้น อย่างไรก็ตาม ในขณะเดียวกันนี้จะมีเพียงสถานะเดียวที่เป็นไปได้ในข้อมูลนั้น แต่ถ้า เปลี่ยนข้อมูลขนาด 3 บิต เป็น 3 ควิบิต จะได้ว่า ในขณะเดียวกันนี้ จะมีทั้ง 8 สถานะไปได้ทุกอย่าง โดยแต่ละควิบิต สามารถมีสถานะระหว่าง 0 และ 1 ได้ ดังนั้นข้อมูลขนาด 3 ควิบิต เราจะสามารถ

เก็บข้อมูลได้ 2" ตัวในครั้งเดียว และ สามารถประมวลผลข้อมูลที่อยู่ระหว่าง 0 และ 1 ได้ โดยอาศัย หลักการของความน่าจะเป็น ซึ่งทำให้การคำนวณลักษณะนี้ ต่างจาก การคำนวณแบบดั้งเดิมและ ต่างจากการคำนวณแบบขนาน (Parallel computation) ที่เราๆ กัน การคำนวณแบบขนาน หมายถึง การช่วยกันประมวลผล ในการประมวลผล ข้อมูลจำนวนมาก/ขนาดใหญ่ ที่จะต้องแบ่ง งานกันทำ ระหว่างหลาย ๆ หน่วยประมวลผล ที่อยู่ในคนละสิ่งแวดล้อม (หมายถึงคนละหน่วย ประมวลผล และ คนละชุดหน่วยความจำ และ อาจจะใช้คนละระบบปฏิบัติการด้วย) เมื่อ เปรียบเทียบ คอมพิวเตอร์แบบความตันที่มีขนาด " กิบิต กับ คอมพิวเตอร์ที่ว่าไปที่มี " กิบิต จะเห็น ได้ว่า คอมพิวเตอร์แบบความตันที่มีขนาด " กิบิต ประมวลผล ข้อมูล 2" ตัวได้ในครั้งเดียว ในขณะที่ คอมพิวเตอร์ที่ว่าไปต้องประมวลผล 2" ครั้ง หรือต้องใช้คอมพิวเตอร์ 2" ตัวช่วยกัน ประมวลผล โดยหาก " มีค่ามาก ๆ การคำนวณแบบความตัน จะมีประสิทธิภาพ เหนือ การคำนวณ แบบดั้งเดิม เพราะ มีการเพิ่มขึ้นของความเร็วในการคำนวณแบบยกกำลัง

## 1.2 จุดมุ่งหมายของการศึกษา

1. เพื่อศึกษาเรียนรู้และทำความเข้าใจ หลักการของการคำนวณแบบความตัน
2. เพื่อศึกษาพื้นฐานของ โครงสร้าง ความตันคอมโโมเลกุล โดย ศึกษาเกี่ยวกับ โครงสร้าง ทางกายภาพ และ โครงสร้างทางอิเล็กทรอนิกส์ เพื่อที่จะสามารถนำไปใช้ ในการอธิบายการ คำนวณแบบความตัน ด้วย โครงสร้างนี้ได้

## 1.3 ขอบเขตของโครงงาน

1. ศึกษาและเรียนรู้การคำนวณ โดยใช้การคำนวณแบบความตัน
2. ศึกษาและเรียนรู้ รูปแบบของความตันคอมโโมเลกุล ใน การคำนวณแบบความตัน

## 1.4 ขั้นตอนและแผนการดำเนินงาน

รายละเอียด	ปี 2555							ปี 2556		
	ม.ย.	ก.ค.	ส.ค.	ก.ย.	ต.ค.	พ.ย.	ธ.ค.	ม.ค.	ก.พ.	มี.ค.
1) ศึกษาข้อมูลเบื้องต้น เกี่ยวกับการคำนวณแบบ ค่อนต้ม										
2) ศึกษาข้อมูลเบื้องต้น เกี่ยวกับโครงสร้าง ค่อนต้มของโมเลกุล										
3) ศึกษาการคำนวณแบบ ค่อนต้มโดยใช้โครงสร้าง ค่อนต้มของโมเลกุล										
4) อธิบายการคำนวณแบบ ค่อนต้มโดยใช้โครงสร้าง ค่อนต้มของโมเลกุล										
5) จัดทำปริญญาในพิณธนบัณฑ์ สมบูรณ์										

## 1.5 ประโยชน์ที่คาดว่าจะได้รับจากการงาน

- สามารถเข้าใจและอธิบายพื้นฐาน การคำนวณแบบค่อนต้มได้
- สามารถเข้าใจการคำนวณแบบค่อนต้มโดยใช้โครงสร้างค่อนต้มของโมเลกุลได้

## 1.6 งบประมาณ

- |                                     |                  |
|-------------------------------------|------------------|
| 1. ค่าเข้าเล่นปริญญาในพิณธน         | 1,200 บาท        |
| 2. ค่าถ่ายเอกสาร                    | 800 บาท          |
| รวมเป็นเงินทั้งสิ้น (สองพันบาทถ้วน) | <u>2,000 บาท</u> |

หมายเหตุ: ถ้าแล้วทุกรายการ

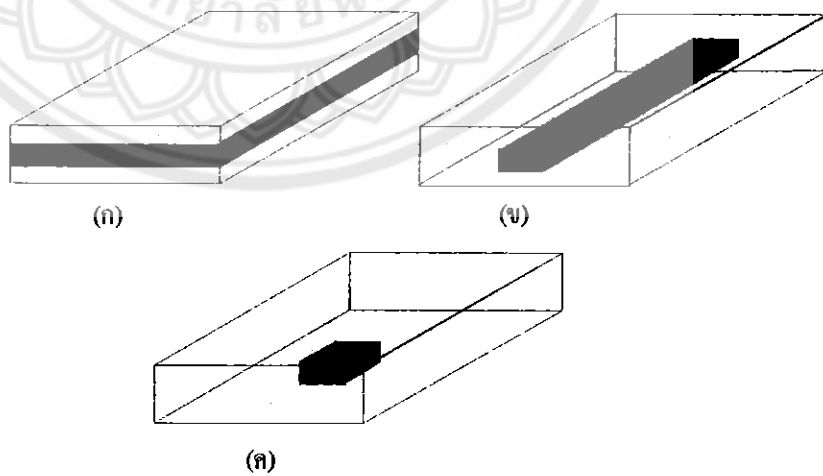
## บทที่ 2

### หลักการและทฤษฎี

นักวิทยาศาสตร์ได้คิดค้น และ ศึกษา โครงสร้างความตันนาโน (Quantum nanostructures) โดย การศึกษานี้ มีทั้งด้านทฤษฎี และ การทดลอง และ มีการนิยาม โครงสร้างบ่อความตัน (Quantum well) เป็นโครงสร้างที่สามารถกักเก็บอิเล็กตรอน ใน 1 มิติ โครงสร้างความตันไวร์ (Quantum wire) เป็นโครงสร้างที่สามารถกักเก็บอิเล็กตรอน ใน 2 มิติ และ โครงสร้างความตันดอท (Quantum dot) เป็นโครงสร้างที่สามารถกักเก็บอิเล็กตรอน ใน 3 มิติ ดังนั้น โครงสร้างความตันดอท มีลักษณะเป็น โครงสร้างที่อิเล็กตรอน ไม่สามารถเคลื่อนที่ได้อย่างอิสระในทุกทิศทาง ในปัจจุบัน โครงสร้างความตันนาโนเหล่านี้ มีการใช้งานอยู่ใน ตั่งประดิษฐ์ต่าง ๆ เช่น เลเซอร์สารกึ่งตัวนำ (Semiconductor laser)

#### 2.1 ความตันดอท

ความตันดอท เป็นโครงสร้างที่มีความสามารถในการกักเก็บอิเล็กตรอน ได้ในทุกทิศทาง โครงสร้างนี้ สามารถสร้างได้จาก สารประกอบที่มีคุณสมบัติเป็น สารกึ่งตัวนำ เช่น แกลเดียมอาร์เซไนด์ (GaAs) และ อินเดียมอาร์เซไนด์ (InAs) โดยนั้นเป็น โครงสร้างระดับนาโน เมื่อมอง โครงสร้างของความตันดอทนี้ ผ่านเครื่องมือที่สามารถสำรวจโครงสร้างระดับนาโนจะมองเห็นว่า โครงสร้างนี้มีลักษณะเป็นจุด จึงเรียกโครงสร้างนาโนของวัสดุลักษณะเช่นนี้ว่าเป็น "ดอท" [1]



รูปที่ 2.1 ลักษณะ (ก) โครงสร้างบ่อความตัน (ข) โครงสร้างความตันไวร์ และ (ค) โครงสร้างความตันดอท

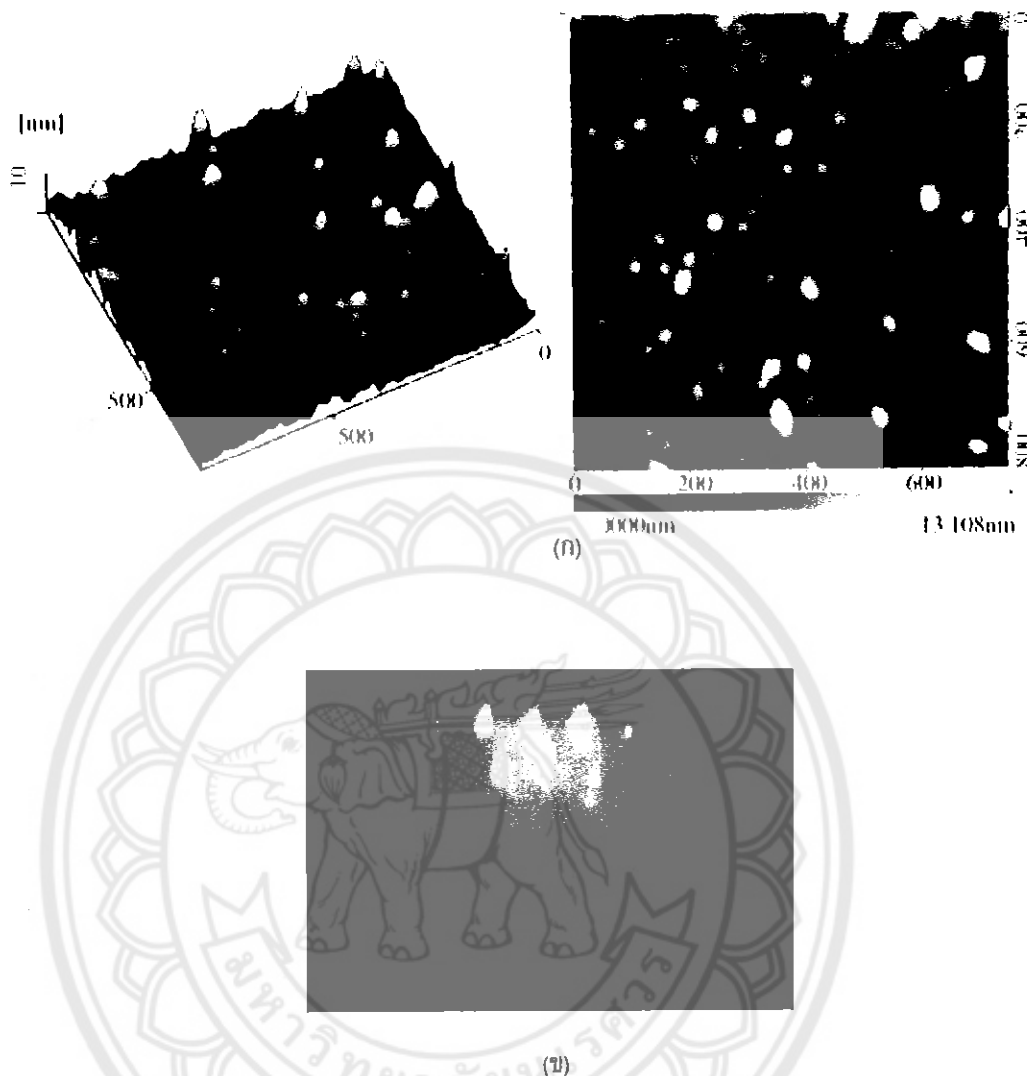
โครงสร้างควบคุมด้วยมีคุณสมบัติที่มีความเฉพาะทาง เช่น ไฟฟ้า โดยมันถูกนำเสนอว่า เป็นโครงสร้างที่เหมาะสมนำไปใช้เพื่อปรับแต่งอุปกรณ์อิเล็กทรอนิกส์ทางแสงต่างๆ เช่น ไอดีโอซีพีล็อก เลเซอร์ ตัวตรวจจับแสง เซลล์แสงอาทิตย์

ต่อมา ได้มีการพัฒนา วิธีการสร้าง โครงสร้างควบคุมด้วยมีคุณสมบัติ โดยใช้เทคนิคการปั๊กผลึกด้วยลำไนเลกุล (Molecular beam epitaxy, MBE) หรือ เทคนิคการปั๊กสารจากไอเคมีของสารประกอบโลหะ-อินทรีย์ (Metal organic chemical vapor deposition, MOCVD) ซึ่งเป็นเทคนิคในการปั๊กผลึกบนพื้นผิวสารกึ่งตัวนำ ที่ทำให้ได้ผลึกที่มีความสมบูรณ์สูง ยิ่งไปกว่านั้นยังมีการพัฒนาในรายละเอียดของแต่ละเทคนิค เพื่อใช้เพื่อปรับแต่งอุปกรณ์ทางแสงต่างๆ เช่น การปรับขนาดของชั้นอะตอมและระยะของดอท เป็นต้น จากการศึกษาเบื้องต้น จะสามารถสรุปได้ว่า โครงสร้างควบคุมด้วยมีคุณสมบัติในนี้ โดยเฉพาะอย่างยิ่ง โครงสร้างควบคุมด้วยมีคุณสมบัติ จะสร้างได้โดยใช้เทคนิคการปั๊กผลึกด้วยลำไนเลกุล และในระหว่างการสร้างโครงสร้างนี้ เราสามารถเห็นผิวของโครงสร้างได้โดย การสังเกตรูปแบบการเดี่ยวเบนของลำไนเลกุล ตลอดงานสูงที่สะท้อนจากผิว (Reflection high-energy electron diffraction, RHEED) ซึ่งเป็นเทคนิคในการศึกษาลักษณะพื้นผิวของผลึกวิธีหนึ่ง หลังจากการสร้างโครงสร้างควบคุมด้วยมีคุณสมบัติ สามารถใช้ กล้องจุลทรรศน์แรงอะตอม (Atomic Force Microscopy, AFM) วัดคุณลักษณะทางโครงสร้างของควบคุมด้วยมีคุณสมบัติ และ ใช้การวัดไฟฟ้าต่ำ (Photoluminescence, PL) ในการศึกษา โครงสร้างทางอิเล็กทรอนิกส์ หรือ ระดับพลังงานของอิเล็กตรอน ในโครงสร้าง

### 2.1.1 การสร้างโครงสร้างควบคุมด้วยมีคุณสมบัติ ด้วยเทคนิคการปั๊กผลึกด้วยลำไนเลกุล

เทคนิคการปั๊กผลึกด้วยลำไนเลกุล หรือที่เรียกย่อๆ ว่า MBE ถูกคิดค้นโดย Arthur และ Cho เป็นเทคนิคที่สามารถสร้างผลึกของสารกึ่งตัวนำ ให้มีการจัดเรียงของอะตอมอย่างเป็นระเบียบ เมื่อไม่นานมานี้ เทคนิคการปั๊กผลึกด้วยลำไนเลกุล ถูกนำมาใช้ศึกษาการสร้าง โครงสร้างควบคุมด้วยมีคุณสมบัติ ซึ่งจากการที่ ในระบบเครื่องปั๊กผลึกด้วยลำไนเลกุล มีการติดตั้ง การดูรูปแบบการเดี่ยวเบนของลำไนเลกุล ตลอดงานสูงที่สะท้อนจากผิว ดังนั้นเราจึงสามารถสังเกตได้ว่า ระหว่างทำการปั๊กผลึก ผิวนี้ มีลักษณะการจัดเรียงอะตอมแบบใด

ในการปั๊กผลึกด้วยลำไนเลกุล หากเราทำการปั๊กสารกึ่งตัวนำ ที่มีขนาดค่อนข้างใหญ่ ต่างกัน โครงสร้างควบคุมด้วยมีคุณสมบัติ ก็สามารถเกิดขึ้นได่อง โดยกระบวนการจัดเรียงตัวตามธรรมชาติ (Self-organization) โดยสารกึ่งตัวนำ ที่สามารถนำมาใช้สร้าง โครงสร้างควบคุมด้วยมีคุณสมบัติ แบบจัดเรียงตัวเองได้ ชนิดหนึ่ง คือ อินเดียมอาร์เซนิค ในแก้วแล้วมีการจัดเรียงตัวเองได้ ชนิดหนึ่ง คือ อินเดียมอาร์เซนิค ในแก้วแล้วมีการจัดเรียงตัวเองได้ โดย คุณสมบัติทาง โครงสร้างของควบคุมด้วยมีคุณสมบัติ สามารถวัดได้จาก การวัดค่า กล้องจุลทรรศน์แรงอะตอม [2]



รูปที่ 2.2 (ก) โครงสร้างความตื้นคือทของสารกึ่งด้านนำอินเดียมาร์เซในดับนพื้นผิวดองสารกึ่งตัวนำแกลเลี่ยนمار์เซในผ่านกล้องจุลทรรศน์แรงดึงดูด (ข) รูปแบบการเดี่ยวบนของคำอิเล็กตรอนพลังงานสูงที่สะท้อนจากผิวที่วัดขณะทำการสร้างโครงสร้างความตื้นคือท [3]

## 2.2 ความตื้นคือทไม้เลกุล

ในการสร้างความตื้นคือทไม้เลกุลนี้ เราจะต้องทำให้ความตื้นคือทที่อยู่บนผิวน้ำ มีการจัดเรียงตัวในรูปแบบไม้เลกุล ซึ่งการจัดเรียงตัวนี้ มีไกด์หลายรูปแบบ โดยการใช้เทคนิคการปั้นกอกลีก ด้วยเครื่องปั้นกอกลีกด้วยคำไม้เลกุล เราสามารถสร้างรูปแบบต่าง ๆ ได้ รูปที่ 2.3 แสดงรูปลักษณะการเรียงตัวของความตื้นคือทไม้เลกุลแบบต่าง ๆ ที่มีการสร้างขึ้นได้จริง

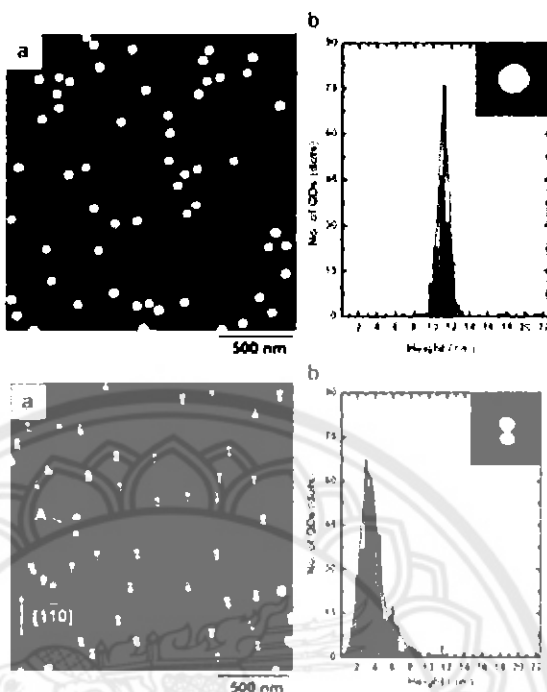


รูปที่ 2.3 แสดงกลุ่มของความตันคอทไม้เลกุลบันสารกึ่งตัวนำ ที่มี ความตันคอทแบบคู่,  
ความตันคอทแบบสี่คอท และความตันคอทแบบหกคอท หรือ แบบวงแหวน [4]

โครงสร้างความตันคอทไม้เลกุลที่สร้างขึ้นได้นี้ คือ ความตันคอทไม้เลกุลแบบคู่ (Bi-molecule) ความตันคอทแบบ 4 คอท (Quad-molecule) และ ความตันคอทหกคอท (Hexa-molecule) หรือแบบวงแหวน (Dot ring) จะมีศักยภาพในการใช้งานด้านต่าง ๆ เช่น ในด้านส핀ทรอนิกส์ (Spintronics) ที่อาศัยการเก็บข้อมูล ด้วยคุณสมบัติการมีสปินของอิเล็กตรอนในโครงสร้าง โดย การเก็บข้อมูลในลักษณะนี้ ก็มีศักยภาพในการนำมาใช้งานใน ด้านความตัน คอมพิวเตอร์ด้วย นอกจากนี้ โครงสร้างความตันคอทแบบสี่คอท ยังสามารถนำมาใช้ในการคำนวณ ตามหลักการความตันคอทเซลล์อยอต โตามาต้า (Quantum-dot cellular automata) ด้วย ดังนั้น จึง กล่าวได้ว่า การพัฒนาเทคโนโลยีการปฎิกรณ์ โครงสร้าง ความตันคอทไม้เลกุล มีความสำคัญอย่างยิ่ง ต่อการพัฒนา สิ่งประดิษฐ์ทางอิเล็กทรอนิกส์ชนิดใหม่

สำหรับโครงสร้างความตันคอททั่ว ๆ ไป หากนำไปสร้างให้ความหนาแน่นสูง มันก็ยัง เป็นประโยชน์ต่อการเพิ่มประสิทธิภาพของเลเซอร์สารกึ่งตัวนำสมัยใหม่ และ เซลล์แสงอาทิตย์ สมัยใหม่ ที่เรียกว่า ความตันคอทเลเซอร์ และ ความตันคอทโซล่าเซลล์ ตามลำดับ และ สำหรับ โครงสร้างความตันคอท ที่มีการเรียงตัวเป็นเส้นตรง หรือ เป็นลวดลายต่าง ๆ ก็ยังมีประโยชน์ต่อ การนำไปพัฒนาสิ่งประดิษฐ์ ทางด้าน นาโนอิเล็กทรอนิกส์ (Nanoelectronics) และ นาโนไฟฟ์ นิกส์ (Nanophotonics) อีกด้วย [5]

### 2.2.1 เปรียบเทียบลักษณะโครงสร้างความตันคดอทกับความตันคดอทโนมเลกุลแบบกู่



รูปที่ 2.4 ภาพจากการวัดค่าขีดล่องจุดทรรศน์เรืองระตอน และ ลักษณะความสูงของโครงสร้างความตันคดอท (รูปบน) และ โครงสร้างความตันคดอทโนมเลกุลแบบกู่ (ล่าง) [6]

รูปที่ 2.4 รูปด้านบน เป็นรูปของความตันคดอทที่มีลักษณะเป็นจุด ซึ่งมีความสูงประมาณ 10-12 นาโนเมตร ส่วนรูปด้านล่าง เป็นรูปของความตันคดอทโนมเลกุลแบบกู่ ที่มีลักษณะเป็นจุดโดยมีสองจุดมาอยู่ใกล้กันบนสามารรถเด็กการคู่ระหว่าง (Coupling) โดยความตันคดอทใน ความตันคดอทโนมเลกุลแบบกู่ มีความสูงประมาณ 3-4 นาโนเมตร

### 2.3 พื้นฐานการคำนวณแบบความตัน

การคำนวณเชิงความตัน (Quantum computing หรือ Quantum computation) เป็นการคำนวณ โดยอาศัยหลักการทำงานพิเศษสำหรับด้าน กลศาสตร์ความตัน โดยอาศัยคุณสมบัติการทับซ้อน (Superposition) และ ความพัวพัน (Entanglement) ของสถานะของอนุภาคในระดับความตัน โดยจากคุณสมบัติทั้ง 2 นี้ จะทำให้เราสามารถคำนวณนี้ นาใช้แก้ปัญหางานกรณีได้รวดเร็วยิ่งขึ้น เมื่อเทียบกับ การคำนวณแบบดั้งเดิม

### 2.3.1 การทับซ้อน (Superposition)

การทับซ้อน เป็นปรากฏการณ์ที่อนุภาคความตันสามารถประยุกต์ได้สองที่ในเวลาเดียวกัน โดยการอธิบายหลักการทับซ้อนนี้ จะเน้นอ่อนกับ กรณี การทับซ้อนของคลื่น ดังนั้น จึงกล่าวได้ว่า ในระบบความตัน อนุภาคจะมีคุณสมบัติเป็นคลื่นด้วย โดยหากเราพิจารณา อนุภาค โฟตอน (แสง) จากการทดลอง ที่ได้มีแสดงให้เห็นแล้วว่า หากนำเอาตัวแยกลำแสง (Beam splitter) มาวางไว้ในลักษณะดังรูปที่ 2.5(ก) เมื่อทำการยิงแสงผ่านกระบวนการตัวแยกลำแสง ที่มีความสามารถทำให้แยกออกเป็นสองลำ โดยมีความเข้มแสงทั้งสองลำเป็นสัดส่วน 50 ต่อ 50 แล้วนำตัวรับแสงมาตรวจรับแสงที่หักเห (ตัวรับแสง 1) และ ทะลุผ่าน (ตัวรับแสง 2) จะพบว่า ตัวรับแสงทั้งสอง ได้รับแสงที่มีความเข้มเท่ากัน

เมื่อเราพิจารณาแสงซึ่งก็คือ ลำของอนุภาค โฟตอน ที่ยิงเข้าไปในตัวแยกลำแสง เราพบว่า เราจะต้องใช้ความน่าจะเป็น ในการอธิบาย การเลือกหักเห หรือ ทะลุผ่าน ของโฟตอน ตัวหนึ่ง ๆ โดยจากการใช้ ตัวแยกลำแสงแบบ 50 ต่อ 50 จะได้ว่า ความน่าจะเป็นที่ โฟตอนตัวหนึ่งจะเลือกทะลุผ่าน เท่ากับ 0.5



รูปที่ 2.5 (ก) การทดลองยิง โฟตอนเดียวกระบวนการตัวแยกลำแสง (ห) แหล่งกำเนิดแสงสองตัว เปล่งแสงที่มีเฟสต่างกันผ่านตัวแยกลำแสง

ในทำนองกลับกัน เมื่อเราทำการทดลอง โดยปล่อยลำ โฟตอนจากตัวเปล่งแสงสองตัว ที่สามารถควบคุมความต่างเฟสของมันได้ (เช่นจาก เลเซอร์ และ อุปกรณ์ทางแสง) เมื่อ โฟตอน กระบวนการตัวแยกลำแสง หากเราพิจารณาว่า โฟตอนแต่ละตัว มีความน่าจะเป็นที่จะเลือกทางเดิน ที่เป็นอิสระต่อกัน เราควรจะได้ผลการทดลองที่ว่า แสง จะผ่านตัวแยกลำแสงออกมากทั้งสองทาง แต่จากการทดลอง โดย Hong Ou และ Mandel (1987) พบร่วมกัน สถานะของ โฟตอนจะสามารถซ้อนทับกันได้ และ จะเกิดการแทรกสอดแบบความตัน ซึ่งจะทำให้ โฟตอนออกทางเดียว (ดูรูปที่ 2.5(ข))

### 2.3.2 ความพัวพัน (Entanglement)

ความพัวพัน เป็นปรากฏการณ์ทางควอนตัม ที่ไม่มีอยู่ใน ทฤษฎีทางฟิสิกส์ดั้งเดิม นั่นคือ การที่อนุภาคทางควอนตัม ส่องคัวเข้าไป ที่มีความเชื่อมโยงกันอยู่ ถึงแม่ว่า จะอยู่ห่างไกลกันแค่ไหนก็ตาม โดยอนุภาคเหล่านี้สามารถส่งข้อมูลถึงกันได้ และ หมายความว่า อะไรที่เกิดกับอนุภาคหนึ่งจะส่งผลต่ออีกอนุภาคหนึ่ง ซึ่งเราเรียก ปรากฏการณ์เหล่านี้ว่า เป็นการพัวพันซึ่งกันและกัน การพัวพันนี้ ได้ถูกใช้ในการพิสูจน์แล้วว่า ข้อมูล สามารถเดินทางได้เร็วกว่าแสง (ซึ่งขัดแย้งกับ แนวคิดของไอน์สไตน์ ในสมัยที่คิดค้น ทฤษฎีสัมพัทธภาพ) และ การพัวพันนี้ สามารถอธิบายได้ ด้วย กลศาสตร์ควอนตัม ซึ่งทำให้เราสามารถนำมานาสร้างเป็น การคำนวณเชิงควอนตัม เพราะการ คำนวณเชิงควอนตัม คือ การคำนวณ ที่มีลักษณะนาน คือ สามารถประมวลผลข้อมูลขาเข้าหลาย ๆ ชุดในครั้งเดียว ซึ่งเป็นที่มาของการใช้ คำว่า คิวบิต เป็น บิต ของการคำนวณเชิงควอนตัม

## 2.4 เปรียบเทียบข้อมูลบิต (Bits) กับ คิวบิต (Qubit)

หลักการทำงานของคอมพิวเตอร์โดยทั่วไปคือมีการประมวลผลเป็น ไบนารี ดิจิต หรือ บิต ซึ่งเป็นพื้นฐานที่สำคัญที่ใช้ บอกสถานะของการทำงานและข้อมูล ข้อมูล 1 บิต มีสองสถานะ คือ "0" กับ "1" ในกรณีของการคำนวณแบบควอนตัม จะใช้สถานะของอนุภาคเป็นตัวแทนของบิต แต่ เนื่องจากคุณสมบัติของระบบทางควอนตัม ที่สามารถสร้างการทับซ้อน ทำให้ออนุภาคตัวเดียว แทน สถานะระหว่าง 0 และ 1 ซึ่งจะทำให้สามารถทำการเข้ารหัส อนุภาคนั้นที่อยู่ระหว่าง 0 และ 1 ได้ โดยเรียกข้อมูล ที่มีคุณสมบัตินี้ว่า ควอนตัมบิต หรือ คิวบิต ตารางที่ 2.1 แสดงการเปรียบเทียบ คุณสมบัติของข้อมูลบิต และ คิวบิต

### ตารางที่ 2.1 แสดงการเปรียบเทียบข้อมูลบิต และ คิวบิต [7]

บิต	คิวบิต
มีค่าได้เป็น "0" หรือ "1"	มีค่าเป็นผลรวมเชิงเส้นของ "0" และ "1" $(a 0> + b 1>)^*$
สามารถวัดค่าบิตได้โดยแม่นยำ	ไม่สามารถวัดสถานะที่แน่นอนของคิวบิตได้
สามารถวัดค่าบิตได้โดยไม่ทำให้ค่าเดินเปลี่ยน	การวัดคิวบิตสามารถทำให้ค่าเปลี่ยน
สามารถแยกแยะ "0" และ "1" ออกจากกันได้อย่างชัดเจน	เราไม่สามารถแยกแยะ บางสถานะของกลุ่มคิวบิตได้ ๆ (มากกว่าหนึ่งคิวบิตขึ้นไป) อย่างชัดเจนได้
สามารถทำการคัดลอกบิตได้โดยแทนจะໄรข้อจำกัด	คัดลอกคิวบิตที่ทราบค่าและไม่ทราบค่าได้อย่างค่อนข้างจำกัด
การรู้สถานะของบิบที่ ไม่มีผลต่อค่าสถานะของบิบที่อยู่ไกลกัน	การรู้สถานะของคิวบิตที่ จะมีผลต่อค่าสถานะของคิวบิตอื่น ๆ ที่พัวพันกับคิวบิตนั้น ถึงแม่ว่าอยู่ห่างไกลกันก็ตาม

\* ในเอกสารนี้ เราใช้ เครื่องหมาย  $|>$  แทนการบ่งบอกสถานะ ซึ่งอาจมองเป็นฟังก์ชันค่าคงที่หนึ่ง เช่นเดียวกันกับ การมองว่า "0" คือ ระดับแรงดัน 0 โวลต์ และ "1" คือ ระดับแรงดัน 5 โวลต์

ในระบบอิเล็กทรอนิกส์ เราจะนิยาม บิต คือค่าที่ใช้แทนความแตกต่างของแรงดัน โวลต์นั้น คือ "0" แทนคำว่า ระดับแรงดันศูนย์ปัจจุบันของ "1" แทนคำว่าระดับแรงดัน 5 โวลต์ เพื่อให้ทราบถึง ความแตกต่างของข้อมูล เช่น ข้อมูลสามบิตสามารถมีค่าที่เป็นไปได้ 8 ค่า คือ 000, 001, 010, 011, 100, 101, 110 และ 111

สำหรับ คิวบิต คือ ค่าที่ใช้แทนความแตกต่างของข้อมูล เมื่ອอกัน บิตในคอมพิวเตอร์แบบ คั่งเดิน แต่มีความแตกต่างตรงที่คิวบิต จะไม่ใช่ ระดับแรงดัน (หรือกระแส) แต่จะใช้สถานะเชิง คุณตัน ในการแสดง โดยเราจะใช้ สัญลักษณ์  $|>$  ในการบอกสถานะของคิวบิต ซึ่ง สถานะเชิง คุณตันนี้ นิได้หลายแบบ ขึ้นกับ ระบบที่นำมาศึกษา โดยสถานะของอิเล็กตรอน ในคุณตันของ ไม่เลกุลแบบกู้ เป็นสถานะหนึ่ง ที่นำมาใช้เป็น คิวบิต ได้

ตารางที่ 2.2 ระบบทางกายภาพของควอนตัม [7]

ระบบทางกายภาพที่ใช้แทนควอนตัม	คุณสมบัติ	สารสนเทศ (อ็อกซิก)	
		"0"	"1"
ไฟฟ่อน	การจัดเรียงด้วยเส้น (Linear polarization)	แนวตั้ง 	แนวนอน 
	การจัดเรียงด้วยวงกลม (Circular polarization)	ขวาเข็มนาฬิกา (left-circular polarization)	ขวาเข็มนาฬิกา (right-circular polarization)
	จำนวนไฟฟ่อน (Photon number)	ไม่มีไฟฟ่อน	มี 1 ไฟฟ่อน
	เส้นทางที่แสงเคลื่อนที่ (Photon path)	ผ่านเส้นทาง a 	ผ่านเส้นทาง b 
	ตะกร้าเวลา ก่อน-หลัง (time-bin)	ไฟฟ่อนมาถึงก่อน 	ไฟฟ่อนถึงทีหลัง 
อิเล็กตรอน	สปิน (spin)	สปินมีทิศ +Z 	สปินมีทิศ -Z 
	ประจุ (charge)	ไม่มีประจุ (ไม่มีอิเล็กตรอน)	มีประจุ (มี 1 อิเล็กตรอน)
นิวตรอน	สปิน (spin)	สปินมีทิศ +Z 	สปินมีทิศ -Z 
อะตอม	ระดับพลังงาน (energy level) สถานะพื้น 	สถานะพื้น  (ground state)	สถานะกระตุ้น  (excited state)

ตารางที่ 2.2 แสดง ตัวอย่างระบบทางกายภาพ ที่มีผู้นำเสนอให้ใช้ในการคำนวณแบบค่อนตั้มได้ โดยระบบทางกายภาพที่มีการนำไปใช้ในการคำนวณแบบค่อนตั้มกันมาก ได้แก่ สถานะของโฟตอน (แสง) และ สถานะของอิเล็กตรอน

## 2.5 ประโยชน์ของการคำนวณแบบค่อนตั้มในด้านต่างๆ

การคำนวณแบบค่อนตั้ม สามารถประยุกต์ใช้ประโยชน์ได้ในหลาย ๆ อย่าง ซึ่งจากการศึกษาพบว่าในปัจจุบัน ได้มีการคิดค้นทดลอง และประยุกต์ใช้ในด้านต่างๆ เช่น

- การเข้ารหัสความหนาแน่นสูงเชิงค่อนตั้ม (Quantum superdense coding)

เป็นการประยุกต์ใช้สถานะพัพพัน ในรูปแบบสถานะของเบลล์ (Bell States) ในการแทนข้อมูลคิจตลอดสองบิต และสามารถใช้ในสื่อสารข้อมูลสองบิต ด้วยการส่งสถานะค่อนตั้มเพียงคิวบิตเดียว ซึ่งในสถานะเบลล์นั้น จะเป็นแสดงสถานะพัพพัน ระหว่างอนุภาคคิวบิต ในกรณีนี้จะพิจารณาสองอนุภาค (สองคิวบิต) ซึ่งมีการแสดงความพัพพัน 4 รูปแบบได้แก่

$$(|00\rangle + |11\rangle)/\sqrt{2}, \quad (|10\rangle + |01\rangle)/\sqrt{2}$$

$$(|00\rangle - |11\rangle)/\sqrt{2} \text{ และ } (|10\rangle - |01\rangle)/\sqrt{2}$$

- การควบคุมความผิดพลาดเชิงค่อนตั้ม

ถึงที่เป็นอุปสรรคต่อความสำเร็จ ในการสื่อสารหรือประมวลผลข้อมูลเชิงค่อนตั้มแต่ละครั้ง คือ การมีอันตรรษร้ายกับสิ่งแวดล้อม ซึ่งทำให้เกิดความผิดพลาดของข้อมูลค่อนตั้ม โดยคุณสมบัติทางค่อนตั้มคือ การทับซ้อนเชิงตำแหน่ง และ ความพัพพันทางค่อนตั้มบางส่วนหรือทั้งหมด ได้สูญเสียไป ในปี ค.ศ. 1993 เดวิด ดอยช์ (Devid Deutsch) เสนอวิธีการทำให้ข้อมูลสามารถคืนสภาพ ได้โดยการใช้สถานะของค่อนตั้ม ที่มีลักษณะเหมือนกันซ้อนๆ กันหลายคิวบิต เพื่อแทนข้อมูลเดิมกันในลักษณะสมมาตร โดยเมื่อความผิดพลาดเกิดขึ้น จะทำให้ความสมมาตรดังกล่าวสูญเสียไป และ สามารถตรวจสอบได้ โดยการตรวจสอบสถานะค่อนตั้ม ส่วนที่ไม่เกิดข้อผิดพลาด

- การแยกตัวประกอบด้วยอัลกอริทึมเชิงค่อนตั้ม

เป็นการแยกตัวประกอบด้วย ขั้นตอนอัลกอริทึม วิธีแบบชอร์ (Shor's algorithm) โดย ยาสัย หลักการเชิงค่อนตั้ม เพื่อให้เกิดความรวดเร็ว ในการหาตัวประกอบยิ่งขึ้น โดยในการศึกษาการ

คำนวณ แบบความตั้มด้วย ความตั้มคงที่ ไม่เลกุด นี้ เราจะทำ การศึกษาใน เรื่องของ การแยกตัว ประกอบด้วย ขั้นตอนอัลกอริทึมวิธีแบบชอร์ (Shor's algorithm)

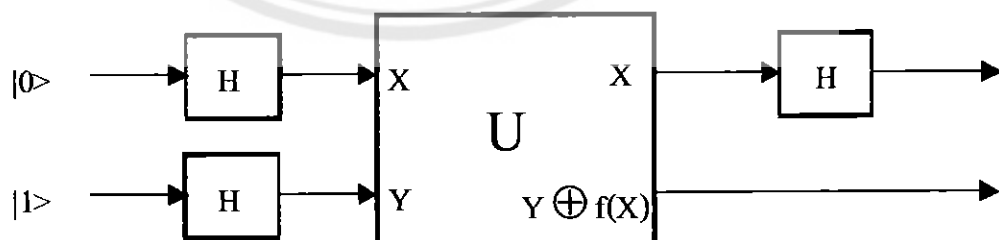
## 2.6 พื้นฐานวิธีเชิงความตั้ม (Quantum algorithms)

เดวิด คอฟช์ (David Deutsch) และริ查ร์ด จอสชา (Richard Jozsa) ร่วมกันเสนอกระบวนการ วิธีแก้ปัญหาเชิงความตั้มเป็นวิธีแรก ซึ่งอาศัยคุณสมบัติ การทับซ้อนเชิงตำแหน่ง มากว่าในการ แก้ปัญหา และการวิเคราะห์คุณลักษณะของฟังก์ชันที่เป็นฟังก์ชันคงที่ (Constant function) หรือ ฟังก์ชันสมดุล (Balanced function) โดยเราจะยก กระบวนการวิธีดังกล่าวไว้ วิธีของ คอฟช์ – จอสชา (Deutsch – Jozsa algorithm) ซึ่งจากคุณสมบัติการทับซ้อนเชิงตำแหน่งของสถานะทาง ความตั้ม ทำให้สามารถได้คำตอบเร็วขึ้นเป็นเอกซ์โพเนนเชียล

ต่อมา ดэн ไซมอน (Dan Simon) ได้เสนอวิธีการทำงานของฟังก์ชัน และจากสิ่งที่ ดэн ไซมอน ได้เสนอไปนั้น ทำให้เพเตอร์ ชอร์ (Peter Shor) ได้ค้นพบวิธีเชิงความตั้ม สำหรับ ในการแยกตัวประกอบ และ การหาผลของการที่ ที่ไม่ต่อเนื่อง ในทางเวลา เป็นแบบโพลิโน เมียล (Polynomial) แทนที่จะเป็นเอกซ์โพเนนเชียล (Exponential) ดังเช่น วิธีที่ใช้ในคอมพิวเตอร์ เชิงคิจิตลแบบดั้งเดิม

### 2.6.1 วิธีของ คอฟช์ – จอสชา (Deutsch – Jozsa algorithm)

วิธีของ คอฟช์ – จอสชา เป็นวิธีการคำนวณเชิงความตั้มวิธีแรก ที่มีประสิทธิภาพสูงกว่า การคำนวณแบบดั้งเดิม โดยระบุวิธีนี้ ถูกนำเสนอเพื่อทำการสาธิตให้เห็นว่า การแก้ปัญหาด้วย การคำนวณเชิงความตั้ม สามารถทำได้จริง และ มีประสิทธิภาพในการคำนวณสูงกว่า วิธีการที่ใช้ ในคอมพิวเตอร์ปัจจุบัน



รูปที่ 2.6 ขั้นตอนการทำงานแบบวิธีของ คอฟช์ – จอสชา บนสองคิวบิต [7]

### 2.6.2 วิธีของชอร์ (Shor's algorithm)

ขั้นตอนวิธีนี้เป็นขั้นตอนวิธีความต้น (ขั้นตอนวิธีที่ทำงานบนความต้นคอมพิวเตอร์) ที่ใช้ในการแยกตัวประกอบของจำนวนเต็ม ซึ่งโดยทั่วไปแล้วจะใช้ในการแก้ปัญหา เมื่อทำการกำหนดจำนวนเต็ม  $N$  แล้ว ให้หาตัวประกอบเฉพาะของ  $N$

ในความต้นคอมพิวเตอร์นั้น การแยกตัวประกอบด้วย ขั้นตอนวิธีของชอร์ จะใช้เวลาในการทำงานไม่เกินฟังก์ชันพหุนาม (Polynomial) ของขนาดข้อมูล โดยจะใช้เวลาเป็น  $O((\log N)^3)$  ซึ่งแสดงให้เห็นว่า เป็นการแก้ปัญหา การแยกตัวประกอบของจำนวนเต็ม ที่มีประสิทธิภาพในความต้นคอมพิวเตอร์ วิธีนี้จัดเป็นวิธีที่เร็วกว่าหลาย ๆ วิธีที่มีประสิทธิภาพที่รู้จักกันทั่วๆ ไป ที่มักจะใช้เวลาเป็นฟังก์ชันเลขชี้กำลัง (Exponential) ขนาดของข้อมูล ในการแยกตัวประกอบโดยใช้ขั้นตอนวิธีของชอร์นั้นประกอบด้วย 2 ส่วนคือ

1. ส่วนลดรูปปัญหา โดยส่วนนี้ จะใช้ลดรูปปัญหาจากปัญหา การแยกตัวประกอบเป็นปัญหาในการหาลำดับ ซึ่งส่วนนี้จะสามารถทำได้ในคอมพิวเตอร์ทั่วไป
2. ส่วนแบบวิธีการความต้นที่ใช้ในการแก้ปัญหาในการหาลำดับ

## 2.7 การแยกตัวประกอบด้วยอัลกอริทึม (Algorithms for quantum computation)

อัลกอริทึมที่จะนำมาใช้ในการแยกตัวประกอบของจำนวนเฉพาะด้วยการคำนวณแบบความต้น คือ ขั้นตอนอัลกอริทึมของชอร์ (Shor's algorithm) ซึ่งเป็นการแยกตัวประกอบที่เป็นจำนวนเฉพาะของจำนวนเต็มด้วยเวลาที่แปรผันตรงกับค่า  $N^3$  เมื่อ  $N$  คือจำนวนบิตของตัวเลขในการคำนวณ ซึ่งหากใช้วิธีการคำนวณด้วยคอมพิวเตอร์แบบดั้งเดิม จะต้องใช้เวลาการคำนวณที่แปรผันตรงกับ  $2^N$  โดยสิ่งที่อยู่เบื้องหลังการทำงานของวิธีการแยกตัวประกอบของชอร์ คือ คุณสมบัติทับซ้อน ซึ่งมีอยู่ในระบบความต้น

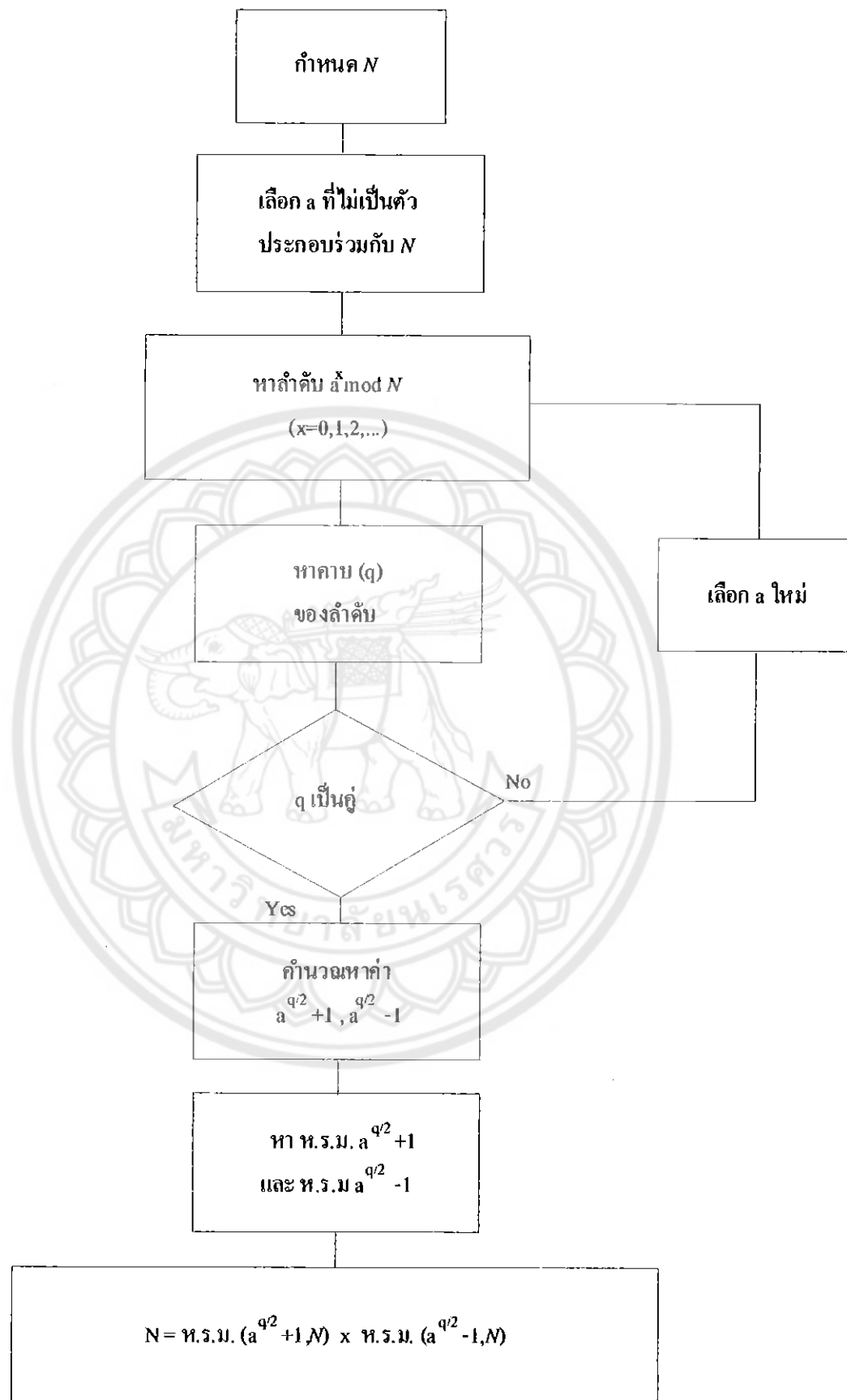
### 2.7.1 การแยกตัวประกอบด้วยวิธีของชอร์

วิธีแยกตัวประกอบตามอัลกอริทึมของชอร์ [7] สามารถทำได้ โดยการหาค่าของลำดับตัวเลข ซึ่งอาศัยการหาค่าของฟังก์ชัน ร่วนกับ การหาตัวหารร่วมนาก (ห.ร.น.) ของจำนวนเต็ม โดยเราสามารถสรุปอัลกอริทึมของชอร์ ได้เป็นขั้นตอนดังนี้

- 1) กำหนดให้ จำนวนเต็มที่ต้องการแยกตัวประกอบคือ  $N$
- 2) เดือกรจำนวนเต็ม  $a$  ซึ่งเป็นจำนวนเฉพาะสัมพัทธ์กับ  $N$  กล่าวคือไม่มีตัวประกอบร่วมกับ  $N$  (ยกเว้นค่า 1 เท่านั้น เพราะ 1 เป็นตัวประกอบร่วมกับจำนวนเต็มทุกตัว)

- 3) หากำบอง  $a^x \bmod N$  เมื่อ  $x = 0, 1, 2, 3, \dots$  และ  $\bmod N$  หมายถึงหารด้วย  $N$  แล้วคงไว้แต่เศษ
- 4) หากำบองของลำดับ  $\{a^x \bmod N\}$  ให้คำนแทนด้วย  $q$  ก่ำร์วคือ  $a^{(x+q)} \bmod N = a^x \bmod N$  หาก  $q$  เป็นเลขคู่ ให้ไปต่อขั้นตอน 5 แต่ถ้า  $q$  เป็นเลขคี่ให้ไปเริ่มขั้นตอน 2 โดยเปลี่ยนค่า  $a$  ใหม่
- 5) คำนวณหา  $a^{q/2} + 1$  และ  $a^{q/2} - 1$  โดยถ้าหาก  $a^{q/2} + 1$  หารด้วย  $N$  ลงตัวให้กลับไปเริ่มขั้นตอนที่ 2 โดยเปลี่ยนค่า  $a$  ใหม่
- 6) หาก  $\text{ห.ร.ม. } (a^{q/2} + 1, N)$  และ  $\text{ห.ร.ม. } (a^{q/2} - 1, N)$  จะได้ว่า ค่า  $\text{ห.ร.ม. } (a^{q/2} + 1, N)$  สองนี้ เป็นตัวประกอบเฉพาะ (prime factor) ของ  $N$  หรือ เกี่ยวนี้ได้เป็น  $N = \text{ห.ร.ม. } (a^{q/2} + 1, N) \times \text{ห.ร.ม. } (a^{q/2} - 1, N)$



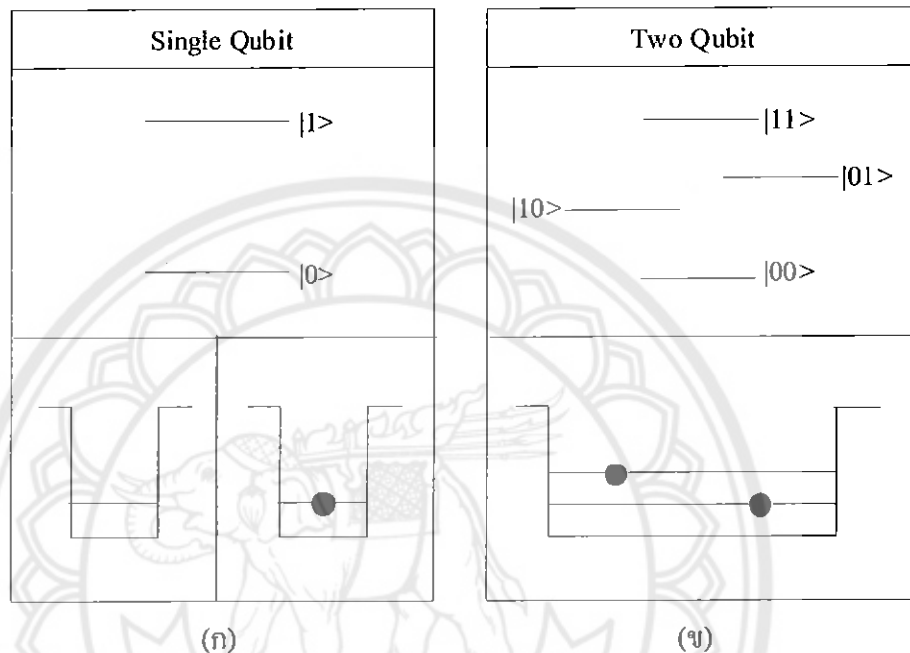


รูปที่ 2.7 แผนภาพแสดงการแยกตัวประกอบของจำนวนเฉพาะ

### บทที่ 3

#### การคำนวณแบบความตั้งด้วยความตั้งคothโนมแอกุลแบบคู่

##### 3.1 สถานะของคิวบิตในโครงสร้างความตั้งคoth และ ความตั้งคothโนมแอกุลแบบคู่



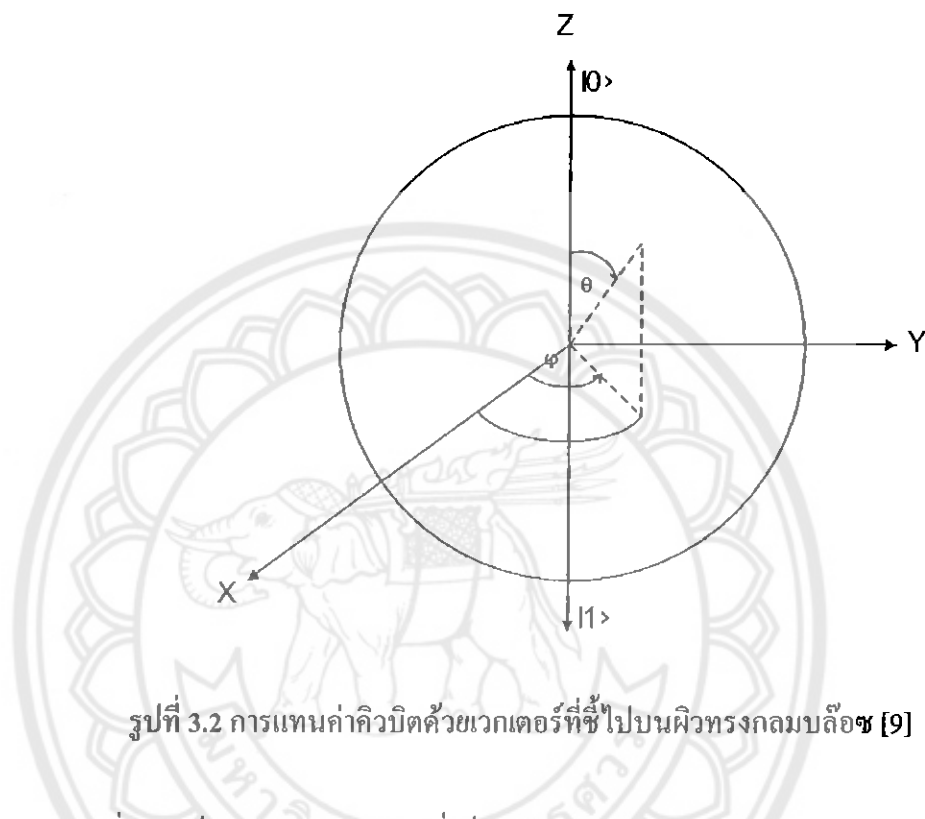
รูปที่ 3.1(ก) เป็นการแสดงสถานะของคิวบิตในโครงสร้างความตั้งคoth และ (ข) ความตั้งคoth โนมแอกุลแบบคู่ [8]

จากรูปที่ 3.1 รูปค้านี้ขับ เป็นการแสดงสถานะของคิวบิตในความตั้งคothแบบเดียว โดยจะอยู่ในรูปแบบของชั้นระดับพลังงานในโครงสร้างนาโนของสารกึ่งตัวนำ ถ้าอิเล็กตรอนอยู่ในสถานะพื้น เราจะนิยามคิวบิตเป็น  $|0\rangle$  และ ถ้าอิเล็กตรอนอยู่บนสถานะที่ถูกกระตุ้นไปอยู่ที่ระดับพลังงานสูงขึ้น เราจะนิยามเป็น  $|1\rangle$  สำหรับการกระตุ้นอิเล็กตรอนนั้น ทำได้โดยการใช้แสง โดยหากแสงที่ใช้มีพลังงานที่เหมาะสม จะทำให้เราสามารถกำหนดสถานะเริ่มต้น ที่อยู่ระหว่าง  $|0\rangle$  และ  $|1\rangle$  ได้อย่างอิสระ

รูปค้านี้ ในรูปที่ 3.1 เป็นการเป็นการแสดงสถานะของอิเล็กตรอนในความตั้งคoth แบบคู่ จะเห็นว่าสถานะของอิเล็กตรอนมีได้ 4 สถานะ ดังนั้น จึงมี 2 คิวบิต ซึ่งแทนด้วย ตัวเลขสองตัว โดย แต่ละคิวบิต มีค่าหลัก ๆ คือ  $|0\rangle$  และ  $|1\rangle$  ดังนั้นเราจึงสามารถเขียนสถานะของระบบที่มีสองคิวบิตได้เป็น  $|j\rangle$  โดยที่  $j = 0$  หรือ  $1$  อิเล็กตรอนแต่ละตัวจะมีพลังงานในระดับพลังงาน

ต่าง ๆ เมื่อได้รับพลังงานจากภายนอก เช่น จากการกระตุนด้วยแสง จะทำให้สถานะของอิเล็กตรอน (คิวบิต) เกิดการเปลี่ยนสถานะไป ซึ่งก็คือ การประมวลค่าที่เก็บอยู่ใน คิวบิต

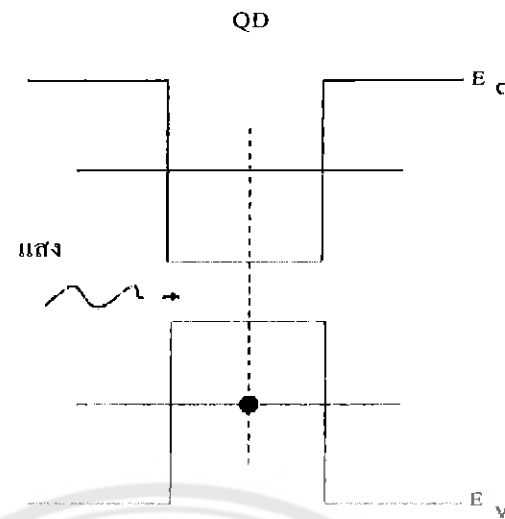
### 3.1.1 ลักษณะของคิวบิตในโครงสร้างความตั้มดอท



รูปที่ 3.2 การแทนค่าคิวบิตด้วยเวกเตอร์ที่ซึ่งไปบนผิวทรงกลมบล็อช [9]

รูปที่ 3.2 เป็นการนำเสนอค่าที่เก็บอยู่ในคิวบิต (หรือสถานะของอิเล็กตรอนในความตั้มดอทแบบเดี่ยว) ซึ่งจะอธิบายในรูปแบบของเวกเตอร์ ที่ซึ่งไปบนผิวทรงกลมบล็อช (Bloch sphere) โดยสถานะของอิเล็กตรอนนั้น สามารถเป็นผลรวมเชิงเส้น (linear combination) ของทั้งสองสถานะหลัก คือทั้ง  $|0\rangle$  และ  $|1\rangle$  โดยเป็นไปตามหลักการของการทับซ้อน โดยทั่วไป เราสามารถเขียน ค่าของคิวบิตเดี่ยว ได้ ดังนี้

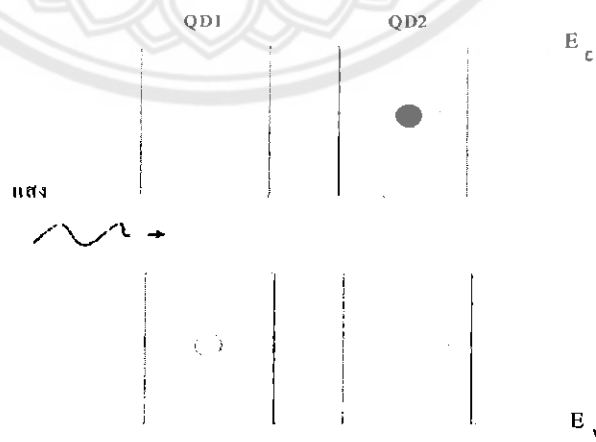
$$|\psi\rangle = \cos\left(\frac{\theta}{2}\right)|0\rangle + e^{i\varphi} \sin\left(\frac{\theta}{2}\right)|1\rangle \quad (3.1)$$



รูปที่ 3.3 แสดงระดับพลังงานในโครงสร้างของความตั้มดอท

รูปที่ 3.3 แสดงลักษณะ แบบพลังงานของโครงสร้างความตั้มดอทแบบเดียว เมื่อเราทำการกระตุนอิเล็กตรอนที่อยู่ในระดับพลังงานในโครงสร้างของความตั้มดอท ด้วยแสง (ไฟต่อน) จะทำให้อิเล็กตรอนนั้นเกิดการเปลี่ยนระดับพลังงานและเปลี่ยนสถานะ และ ทำให้ค่าของคิวบิตเปลี่ยนแปลงไปด้วย เราสามารถทำการแทนค่าสถานะ เป็น  $|1\rangle$  ด้วยค่านุณ  $\theta$  เท่ากับ  $\pi$  และ  $\varphi$  เท่ากับ  $0$  ในสมการ (3.1)

### 3.1.2 ลักษณะของคิวบิตในโครงสร้างความตั้มดอทโนเลกุลแบบคู่

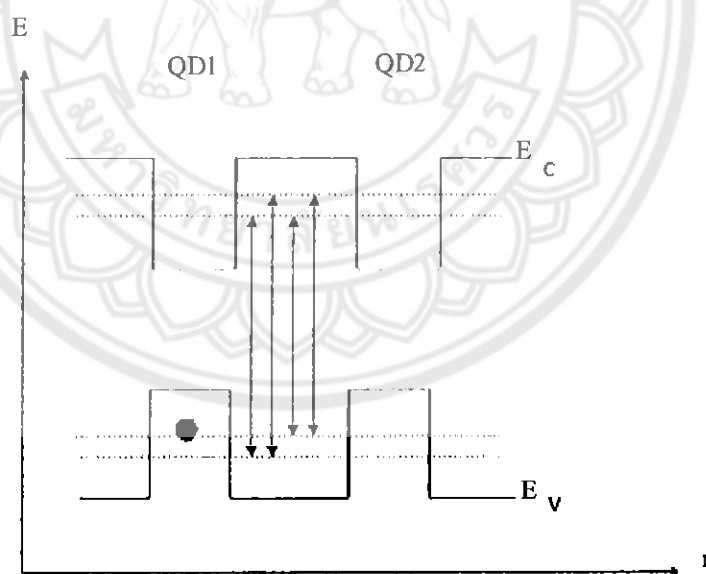


รูปที่ 3.4 แสดงระดับพลังงานในโครงสร้างของความตั้มดอทโนเลกุลแบบคู่ โดยวงกลมสีขาวคือ ไฮล แล้ววงกลมสีดำคืออิเล็กตรอน

รูปที่ 3.4 เป็นการแสดงถึงอิเล็กตรอน-ไโซล (electron-hole pair) หรือ เอ็กซิตอน (exciton) ที่เกิดขึ้นในโครงสร้างความตันคือทโนเลกุลแบบบู่ โดยการนำแสง ถูก อิเล็กตรอน-ไโซล นี้ จะแสดงในแผนภาพแบบพลังงาน หากเราทำการกระตุ้น อิเล็กตรอนในโครงสร้าง ด้วยแสง (ไฟต่อน) ที่มี พลังงานที่เหมาะสม จะทำให้มันเปลี่ยนระดับพลังงานไป และ จะทำให้ค่าของคิวบิตที่นิยามตามสถานะของพาราโบลิกนี้ เปลี่ยนแปลงไปด้วย โดยหาก ระดับพลังงานในห้องความตันคือทหงษ์สอง มีค่า เท่ากัน ก็จะเกิดการพัวพันของสถานะของอิเล็กตรอนขึ้น กล่าวอีกแบบหนึ่งคือ เราจะไม่ทราบอย่าง แน่ชัดว่า อิเล็กตรอนที่เปลี่ยนระดับพลังงานแล้ว จะไปอยู่ที่ด้านซ้าย หรือ ขวา ในรูปที่ 3.4 ดังนั้น จากคุณสมบัติการทับซ้อน ได้ของอนุภาคความตัน ทำให้เขียนค่าของสถานะที่ไม่ทราบนี้ได้ เป็น

$$|\psi\rangle = \frac{|0\rangle \pm |1\rangle}{\sqrt{2}} \quad (3.2)$$

เมื่อนิยามให้  $|0\rangle$  คือ สถานะที่อิเล็กตรอนอยู่ที่ด้านซ้าย และ  $|1\rangle$  คือ สถานะที่อิเล็กตรอน อยู่ที่ด้านขวา



รูปที่ 3.5 แสดงระดับพลังงานในโครงสร้างของความตันคือทโนเลกุลแบบบู่ เมื่อพิจารณา ระดับพลังงานที่อยู่สูงขึ้นไป ในโครงสร้างความตันคือทแต่ละตัว

รูปที่ 3.5 เป็นการแสดงถึงสถานะที่เป็นไปได้ในโครงสร้างของความตันคือทโนเลกุลแบบบู่ เมื่อพิจารณา ระดับพลังงานที่อยู่สูงขึ้นไป ในโครงสร้างความตันคือทแต่ละตัว เมื่อมีการกระตุ้น

ด้วยแสง (โฟตอน) จะทำให้อิเล็กตรอนในโครงสร้าง สามารถเปลี่ยนแปลงระดับพลังงานไปได้ ขึ้นกับพลังงานของโฟตอนที่ใช้กระตุ้น โดยหาก โครงสร้างควบคุมตั้มคอทไม่เลขุณนี้ แต่ละคอทมี ส่องระดับพลังงาน ก็จะทำให้เราสามารถ กำหนดค่า คิวบิต จำนวนสองคิวบิต จาก โครงสร้าง ควบคุมตั้มคอทไม่เลขุณแบบคู่นี้ ซึ่งจะมีค่าหลัก ๆ คือ 00, 01, 10, 11 ซึ่ง เลขตัวแรก อาจหมายถึง การ ไม่มี (0) หรือ มี (1) อิเล็กตรอน ในแทนนำไฟฟ้า ของคอทซ้าย และ เลขตัวที่สอง หมายถึง การ ไม่มี (0) หรือ มี (1) อิเล็กตรอน ในแทนนำไฟฟ้าของคอทขวา

### 3.2 การคำนวณโดยใช้ลอจิกเกตแบบควบคุมตั้ม

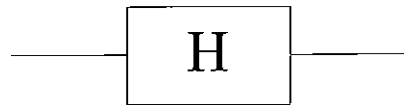
การคำนวณ โดยใช้ลอจิกเกตแบบควบคุมตั้ม เป็น การคำนวณที่มี คุณสมบัติข้อนอกล้ำ ได้ (Reversible computing) และ สามารถประมวลผลสถานะของอนุภาคเชิงควบคุมที่มีคุณสมบัติทับ ซ้อน (Superposition) ของค่าที่คำนวณ ได้ ซึ่ง ลอจิกเกตแบบควบคุมตั้ม ที่มีผู้ศึกษา และ นิยาม เพื่อใช้ เป็นเกตพื้นฐานในการคำนวณแบบควบคุมตั้มมีหลายแบบ เช่น เกตฮาดามาร์ด (Hadamard gate), เกตเพาลิ (Pauli gate), เกตเดือนไฟส์ (Phase shift gate), เกตควบคุม (Controlled gate), เกตทอฟฟอลี (Toffoli gate), เกตเฟรคิน (Fredkin gate) เป็นต้น โดย การสร้าง ลอจิกเกตแบบควบคุมตั้ม ต่าง ๆ (Universal quantum gate) สามารถทำได้โดย ใช้ เกตเพียงสองชนิด คือ เกตฮาดามาร์ด ซึ่ง ทำงานกับ คิวบิตเดียว และ เกตกลับค่าแบบถูกควบคุม (Controlled-NOT gate) ซึ่ง ทำงานกับ สองคิวบิต ดังนั้น ในหัวข้อนี้ เราจะกล่าวถึงเกตสองชนิดนี้ เป็นหลัก

#### 3.2.1 การดำเนินการบนคิวบิตเดียว

##### เกตฮาดามาร์ด

การแปลงฮาดามาร์ด (Hadamard transformation) เป็นการเปลี่ยนรูปแบบที่ง่ายที่สุด ในการ คำนวณแบบควบคุมตั้ม โดยจะเรียกลอจิกนี้ว่า เกตฮาดามาร์ด ซึ่งแทนด้วยสัญลักษณ์  $H$  ดังแสดงใน รูปที่ 3.6 โดย การอธิบายด้วยภาพ ทำได้โดย การพิจารณา ค่าของคิวบิตเดียว ดังแสดงในรูปที่ 3.2 การแปลงฮาดามาร์ด ด้วย เกตฮาดามาร์ด เป็นการหมุน ของ เวกเตอร์คิวบิต ซึ่งอาจหมายถึง การ เปลี่ยนจากสถานะพื้นฐานของอิเล็กตรอนในควบคุมตั้มคอท เช่น  $|0\rangle$  เป็นสถานะที่มีการทับซ้อน คือ  $(|0\rangle + |1\rangle)/\sqrt{2}$  หรือ เปลี่ยนจาก  $|1\rangle$  เป็น โดย  $(|0\rangle - |1\rangle)/\sqrt{2}$  รูปแบบทั่วไป ของการแปลงฮาดามาร์ด แสดงได้ดังสมการ

$$H(\alpha|0\rangle + \beta|1\rangle) = \alpha \frac{|0\rangle + |1\rangle}{\sqrt{2}} + \beta \frac{|0\rangle - |1\rangle}{\sqrt{2}} \quad (3.3)$$



รูปที่ 3.6 แสดงสัญลักษณ์ของเกตขาามาร์ค [10]

### 3.2.2 การดำเนินการบนหลายคิวบิต

เกตกลับค่าแบบถูกควบคุม (Controlled-NOT gate หรือ C-NOT gate)

เกตกลับค่าแบบถูกควบคุมนี้ จะคล้ายกับเกตอีกซึ่งชื่อ XOR (XOR gate) ในการคำนวณด้วยคอมพิวเตอร์แบบดั้งเดิม โดยเกตจะจิกประเทณนี้จะมีบิตหนึ่งเป็นบิตที่ควบคุมผลลัพธ์ของบิตอื่น บิตที่ใช้ควบคุมเรียกว่าบิตควบคุม (Control bit) ในขณะนั้นที่ถูกควบคุมเรียกว่าบิตเป้าหมาย (Target bit) โดยตารางค่าความจริงของเกตชนิดนี้ สำหรับ ในการนี้ข้อมูลเข้า มีค่าหลัก แสดงดังตารางที่ 3.1

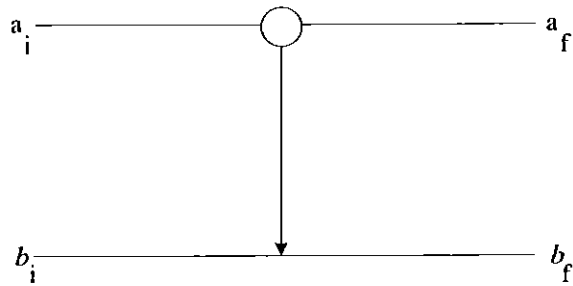
ตารางที่ 3.1 ตารางค่าความจริงของเกตกลับค่าแบบถูกควบคุม

$a_i$ (Input Control qubit)	$b_i$ (Input Target qubit)	$a_f$ (Output Control qubit)	$b_f$ (Output Target qubit)
$ 0\rangle$	$ 0\rangle$	$ 0\rangle$	$ 0\rangle$
$ 0\rangle$	$ 1\rangle$	$ 0\rangle$	$ 1\rangle$
$ 1\rangle$	$ 0\rangle$	$ 1\rangle$	$ 1\rangle$
$ 1\rangle$	$ 1\rangle$	$ 1\rangle$	$ 0\rangle$

โดยอาจเขียนเป็น

$$a_f = a_i, b_f = \begin{cases} b_i & \text{if } a_i = 0 \\ \bar{b}_i & \text{if } a_i = 1 \end{cases} \quad (3.4)$$

จากสมการข้างบน เราНОกได้ว่า เกตชนิดนี้ เป็นเกตที่มีคุณสมบัติข้อนกลับได้ นั่นคือ ถ้าเราสามารถรู้ค่าของ  $a_f$  และ  $b_f$  แล้ว เราจะทำให้สามารถหาค่าของ  $a_i$  และ  $b_i$  ซึ่งเป็นข้อมูลเข้าได้ สำหรับสัญลักษณ์ของเกตชนิดนี้ แสดงดังรูปที่ 3.7



รูปที่ 3.7 แสดงสัญลักษณ์ของเกตกลับค่าแบบถูกควบคุม [10]

ในกรณีที่บิตเป้าหมายขาเข้า ของเกตชนิดนี้ เป็นค่าที่มีการทับซ้อนกัน คือ  $|b_i\rangle = \alpha|0\rangle + \beta|1\rangle$  หากบิตควบคุม มีค่าเป็น  $|a_i\rangle = |1\rangle$  เราอาจจะเขียน ข้อมูลขาเข้าในรูปแบบเวกเตอร์ โดยให้ แต่ละบิต แทนด้วย เวกเตอร์แล้ว ขนาด สองແລວ และ จะได้ว่า  $|a_i b_i\rangle$  คือ

$$|a_i b_i\rangle = \begin{bmatrix} 0 \\ 1 \\ \alpha \\ \beta \end{bmatrix} \quad (3.5)$$

และจะได้ว่า ข้อมูลขาออกจากเกตชนิดนี้ คือ

$$|a_f b_f\rangle = \begin{bmatrix} 0 \\ 1 \\ \beta \\ \alpha \end{bmatrix} \quad (3.6)$$

สำหรับกรณีที่บิตควบคุม มีค่าเป็น  $|0\rangle$  บิตเป้าหมายจะไม่ถูกเปลี่ยนแปลง

เกตยูนิเวอร์ชอล หรือ ยูเกต (Universal gate หรือ U-gate)

เกตยูนิเวอร์ชอลนี้ เป็นเกตที่มีลักษณะการทำงานเป็นแบบ 2 คิวบิต โดยที่คิวบิตแรกทำหน้าที่เป็นบิตควบคุม (เหมือนเกตกลับค่าแบบถูกควบคุม) โดยมีรูปทั่วไปของการเปลี่ยนสถานะเมื่อส่งคิวบิตผ่านเกตชนิดนี้ ดังนี้ [10]

$$\begin{aligned} |00\rangle &\rightarrow |00\rangle \\ |01\rangle &\rightarrow |01\rangle \\ |10\rangle &\rightarrow |1\rangle U |0\rangle = |1\rangle (x_{00}|0\rangle + x_{10}|1\rangle) \\ |11\rangle &\rightarrow |1\rangle U |1\rangle = |1\rangle (x_{01}|0\rangle + x_{11}|1\rangle) \end{aligned} \quad (3.7)$$

โดยเรา假定ลักษณ์  $|ab\rangle = |a\rangle|b\rangle$  และ  $U$  คือ การแปลงเวกเตอร์ จาก  $|0\rangle$  ไปยัง  $x_{00}|0\rangle + x_{10}|1\rangle$  และ จาก  $|1\rangle$  ไปยัง  $x_{01}|0\rangle + x_{11}|1\rangle$  โดยที่  $x_{00}, x_{10}, x_{01}$  และ  $x_{11}$  เป็นค่าคงที่ใด ๆ

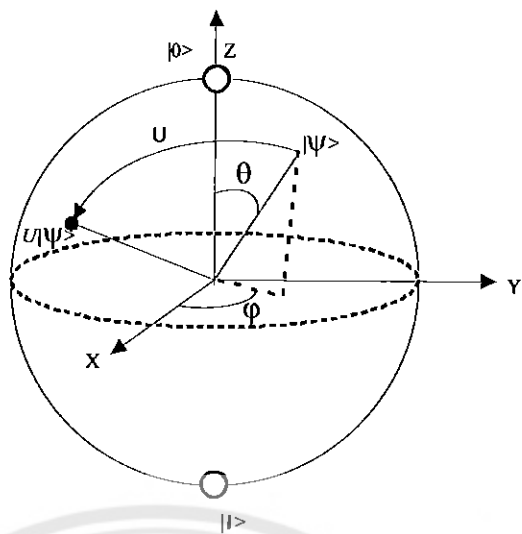
โดยทั่วไป หากเขียน  $U$  คัว矩阵แบบเมตริกซ์ที่กระทำบนเวกเตอร์สถานะ จะสามารถเขียนได้เป็น

$$U = \begin{bmatrix} x_{00} & x_{01} \\ x_{10} & x_{11} \end{bmatrix} \quad (3.8)$$

ดังนั้น เราสามารถเขียนแสดง เกตยูนิเวอร์ชอล นี้ ในรูปแบบเมตริกซ์ คือ

$$C(U) = \begin{bmatrix} 1 & 0 & 0 & 0 \\ 0 & 1 & 0 & 0 \\ 0 & 0 & x_{00} & x_{01} \\ 0 & 0 & x_{10} & x_{11} \end{bmatrix} \quad (3.9)$$

โดย เราอาจจะอธิบาย การเปลี่ยนแปลงสถานะของบิตเป้าหมาย ได้โดยการใช้ทรงกลุมบล็อก ดังแสดงในรูปที่ 3.8 โดยที่บิตที่เกี่ยวข้อง ( $\theta$  และ  $\psi$ ) จะสัมพันธ์กับค่า  $x_{00}, x_{10}, x_{01}$  และ  $x_{11}$



รูปที่ 3.8 การแปลงคิวบิต โดยใช้เกตบูนิเวอร์ซอล โดยพิจารณาจากการหมุนของวงเตอร์สถานะเป้าหมายบนผิวทรงกลมบลีอช [7]



รูปที่ 3.9 รูปสัญลักษณ์ของ เกตบูนิเวอร์ซอล [7]

## บทที่ 4

### ผลการคำนวณแบบค่อนต้ม

#### 4.1 การคำนวณแบบค่อนต้มเพื่อใช้ในการแยกตัวประกอบของจำนวนเฉพาะ อธินายโดยวิธีอัลกอริทึมของชอร์ (Shor's Algorithm)

จากวิธีการคำนวณเชิงค่อนต้มที่ได้กล่าวไว้ในบทที่ 2 ได้นำมาใช้ในการคำนวณการแยกตัวประกอบของจำนวนเฉพาะ โดยใช้วิธีแยกตัวประกอบตามอัลกอริทึมของชอร์ (Shor's Algorithm) โดยการหาค่าของลำดับตัวเลข ซึ่งอาศัยการหาค่าของฟังก์ชันร่วมกับการหาตัวหารร่วมมาก (ห.ร.น.) ของจำนวนเต็ม โดยทางคณะผู้จัดทำได้สรุปอัลกอริทึมของชอร์ และใช้โปรแกรมโปรแกรมแมทแลป (Matlab) ในการสร้างโค้ดและทดสอบ ซึ่งเป็นโปรแกรมที่มีวิธีใช้งานที่ง่ายและสะดวกในการทดลอง

#### Matlab Code:

พื้นฐานของคำสั่ง (Basic Command) ที่ใช้ในการสร้างโค้ดตามอัลกอริทึมของชอร์ในแมทแลปมีดังต่อไปนี้

- unidrnd (N-1)	คือการสุ่มค่าเพื่อนำมาใช้งาน
- mod (x1,x2)	คือการหาค่าเศษของการหาร $x_1$ ด้วย $x_2$
- gcd (x1,x2)	คือการหา ห.ร.น. ของ $x_1$ และ $x_2$
- length (N)	คือขอบเขตของจำนวนตัวเลขทั้งหมด
- fft (x1,N)	คือการแปลงฟูเรียร์แบบเรียว (fft) เพื่อใช้ในการหาค่า
- abs (x1)	คือการนำเลขทุกตัวให้มีค่าเป็นบวกทั้งหมด
- round (N)	คือการหาค่าจำนวนเต็มที่ใกล้ $N$ มากที่สุด
- if . . . end	คือคำสั่งที่ใช้ทำการทดสอบเงื่อนไขความสัมพันธ์ว่าเป็นจริงหรือเป็นเท็จแล้วจึงกระทำการคำสั่งที่อยู่ภายใต้เงื่อนไขนั้น

- while . . . end      คือคำสั่งที่ใช้ทำการทดสอบเงื่อนไขทุก ๆ รอบของการวนซ้ำถ้าผลการทดสอบให้ค่าเป็นจริง โปรแกรมจะกระทำการคำสั่งทั้งหมดภายใน while ถ้าหนึ่งรอบ แล้วกลับมาตรวจสอบอีกครั้งและจะทำการคำสั่งทั้งหมดนี้ต่อไปเรื่อยๆ จนกว่าผลการทดสอบจะเป็นเท็จ จึงจะกระทำการคำสั่งหลังจากคำสั่ง end

- for . . . end      คือคำสั่งที่ใช้กระทำการคำสั่งทั้งหมด (ซึ่งอาจจะมีมากกว่า 1 คำสั่ง) ในจำนวนรอบที่คงที่

#### 4.2 ตัวอย่างการแยกตัวประกอบจำนวนเฉพาะตัวยิชอัลกอริทึมของขอร์

**ตัวอย่างที่ 1** แยกตัวประกอบของ 21 เมื่อเราทำการสุ่นให้ค่า  $a = 8$  สามารถแยกตัวประกอบโดยกระบวนการดังที่กล่าวมาเริ่มจาก

- กำหนดให้  $N = 21$
- เลือก  $a = 8$  ซึ่ง ห.ร.ม. ของ 8 และ 21 เท่ากับ 1 แสดงว่า 8 และ 21 เป็นจำนวนเฉพาะสัมพัทธ์กัน
- ถ้าคับ  $a^x \bmod N$  {  $8^0 \bmod 21 = 1$  ,  $8^1 \bmod 21 = 8$  ,  $8^2 \bmod 21 = 1$  ,  $8^3 \bmod 21 = 8$  , ... }
- หากาบ คำนับในขั้นตอนที่แล้วมีลักษณะซ้ำ {1,8,1,8,...} ดังนั้น คาน คือ 2 ( $q = 2$ )
- $a^{q/2} + 1 = 8^1 + 1 = 9$  และ  $a^{q/2} - 1 = 8^1 - 1 = 7$
- หากว่าหารร่วมมาก ห.ร.ม. (9,21) = 3 และ ห.ร.ม. (7,21) = 7  
คำตอบ ได้ตัวประกอบของ 21 คือ 3 และ 7 นั่นคือ  $21 = 3 \times 7$

เมื่อทำการหาค่าในโปรแกรมແທແລປ จะได้ดังนี้

Which number do you want for factorization = 21

The factoring number is...

21

The random number(a) is...

8

The gcd is... (can use if gcd = 1)

1

$q =$

2

$a1 =$

9

$a2 =$

7

b1 =

3

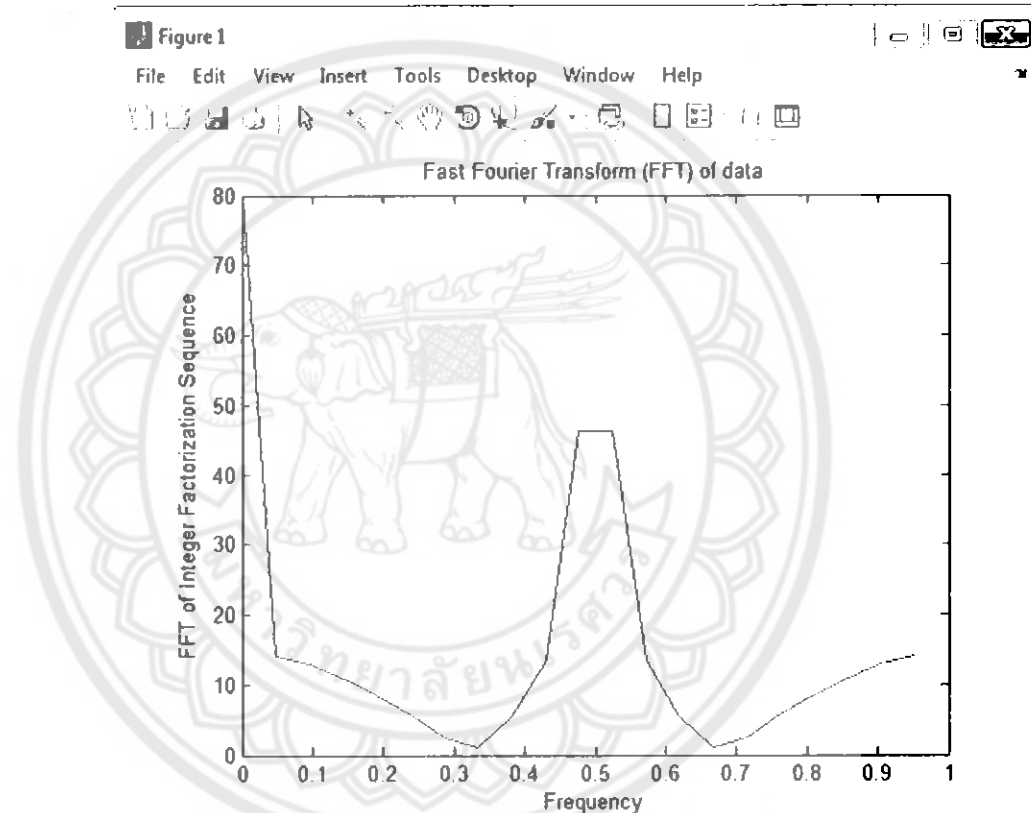
b2 =

7

The factor are...

3

7



รูปที่ 4.1 กราฟการแปลงฟูเรียร์แบบเร็วของการแยกประกอบ 21 โดยที่มีค่า a เท่ากับ 8

จากรูปที่ 4.1 เป็นกราฟการแปลงฟูเรียร์แบบเร็ว (FFT) ที่แสดงในรูปแบบของจำนวนเต็มที่ต้องการใช้แยกตัวประกอบ ( $N=21$ ) เมื่อเราทำการสุ่มค่า  $a$  ให้เท่ากับ 8 ทำให้กราฟการแปลงฟูเรียร์แบบเร็วของจำนวนเต็มเทียบกับค่าของความถี่นี้ มีค่าแอนปริจูดสูงสุดลักษณะที่สองอยู่ที่ 0.5 และจะสามารถนำไปคำนวณเพื่อหาค่า  $(q)$  คือ  $q = (1/\text{freq}(2)) = 1/0.5 = 2$  จึงจะสามารถนำค่าคานนี้ไปแยกตัวประกอบของค่า 21 ได้

**ตัวอย่าง 2** แยกตัวประกอบของ 33 เมื่อเราทำการสุ่มให้ค่า  $a = 10$  สามารถแยกตัวประกอบโดยกระบวนการดังที่กล่าวมาเริ่มจาก

- กำหนดให้  $N = 33$
  - เลือก  $a = 10$  ซึ่ง ห.ร.ม. ของ 10 และ 33 เท่ากับ 1 แสดงว่า 10 และ 33 เป็นจำนวนเฉพาะสัมพัทธ์กัน
  - สำคัญ  $a^q \text{ mod } N \quad \{ 10^0 \text{ mod } 33 = 1, 10^1 \text{ mod } 33 = 10, 10^2 \text{ mod } 33 = 1, 10^3 \text{ mod } 33 = 10, \dots \}$
  - หากำลังดับในขั้นตอนที่แล้ว มีลักษณะชี้  $\{1, 10, 1, 10, \dots\}$  ดังนั้น ค่า  $q = 2$
  - $a^{q/2} + 1 = 10^1 + 1 = 11$  และ  $a^{q/2} - 1 = 10^1 - 1 = 9$
  - หาก้าวหารร่วมมาก ห.ร.ม.  $(11, 33) = 11$  และ ห.ร.ม.  $(9, 33) = 3$
- คำตอบ ได้ตัวประกอบของ 33 คือ 11 และ 3 นั่นคือ  $33 = 11 \times 3$

เมื่อทำการหาค่าในโปรแกรมແນທແລປ จะได้ดังนี้

Which number do you want for factorization = 33

The factoring number is...

33

The random number(a) is...

10

The gcd is... (can use if gcd = 1)

1

Ok!... The number can be factorized.

$q =$

2

$a_1 =$

11

$a_2 =$

9

b1 =

11

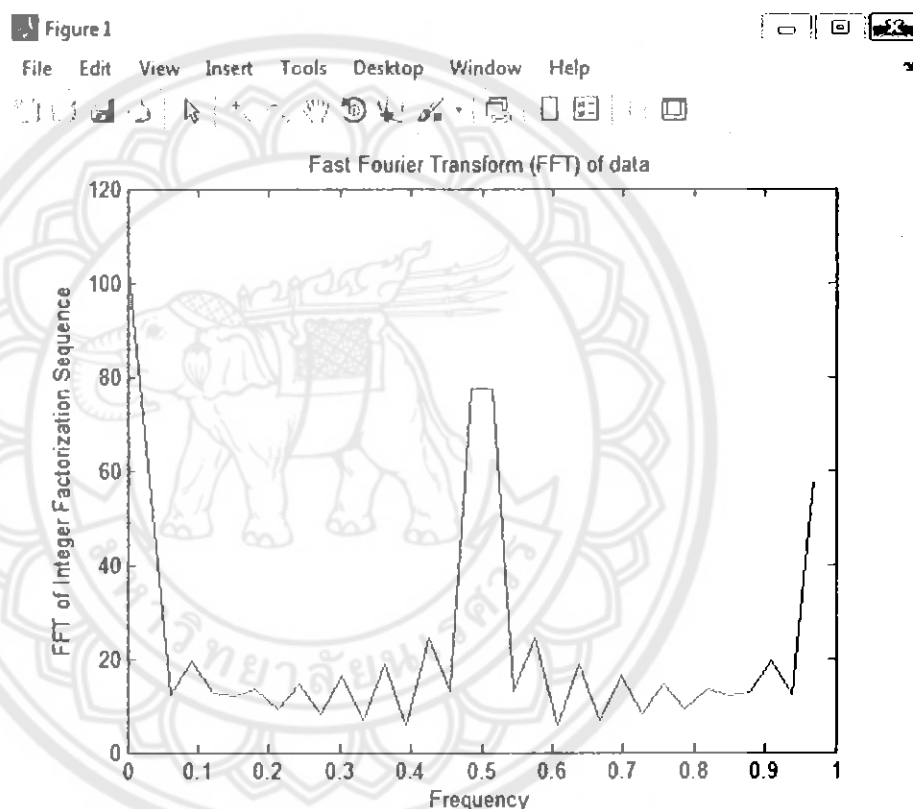
b2 =

3

The factor are ...

11

3



รูปที่ 4.2 กราฟการแปลงฟูเรียร์แบบเร็วของการแยกประกอบ 33 โดยที่มีค่า a เท่ากับ 10

จากรูปที่ 4.2 เป็นกราฟการแปลงฟูเรียร์แบบเร็ว (FFT) ที่แสดงในรูปแบบของจำนวนเต็มที่ต้องการใช้แยกตัวประกอบ ( $N=33$ ) เมื่อเราทำการสุ่มค่า  $a$  ให้เท่ากับ 10 ทำให้กราฟการแปลงฟูเรียร์แบบเร็วของจำนวนเต็มที่บวกกันค่าของความถี่นี้ มีค่าแอนปริจูดสูงสุดลำดับที่สองอยู่ที่ 0.5 และจะสามารถนำไปคำนวณเพื่อหาค่า  $(q)$  คือ  $q = (1/\text{freq}(2)) = 1/0.5 = 2$  จึงจะสามารถนำค่าคานน์ไปแยกตัวประกอบของค่า 33 ได้

### ตัวอย่าง 3 จงแยกตัวประกอบของ 2519

3.1) เมื่อเราทำการสุ่มให้ค่า  $a = 230$  สามารถแยกตัวประกอบโดยกระบวนการดังที่กล่าวมาเริ่มจาก

- กำหนดให้  $N = 2519$
- เลือก  $a = 230$  ซึ่ง ห.ร.ม. ของ 230 และ 2519 เท่ากับ 1 แสดงว่า 230 และ 2519 เป็นจำนวนเฉพาะสัมพัทธ์กัน
- ถ้าคับ  $a^x \bmod N$  { $230^0 \bmod 2519 = 1$ ,  $230^1 \bmod 2519 = 230$ ,  $230^2 \bmod 2519 = 1$ ,  $230^3 \bmod 2519 = 230, \dots$ }
- หากาน ถ้าคับในขั้นตอนที่แล้ว มีลักษณะซ้ำ {1,230,1,230,...} คั่งนี้ คาน คือ 2 ( $q = 2$ )
- $a^{q/2} + 1 = 230^1 + 1 = 231$  และ  $a^{q/2} - 1 = 230^1 - 1 = 229$
- หากหารร่วมมาก ห.ร.ม. (231,2519) = 11 และ ห.ร.ม. (229,2519) = 229  
คำตอบ ได้ตัวประกอบของ 2519 คือ 11 และ 229 นั่นคือ  $2519 = 11 \times 229$

3.2) เมื่อเราทำการสุ่มให้ค่า  $a = 2289$  สามารถแยกตัวประกอบโดยกระบวนการดังกล่าวมาเริ่มจาก

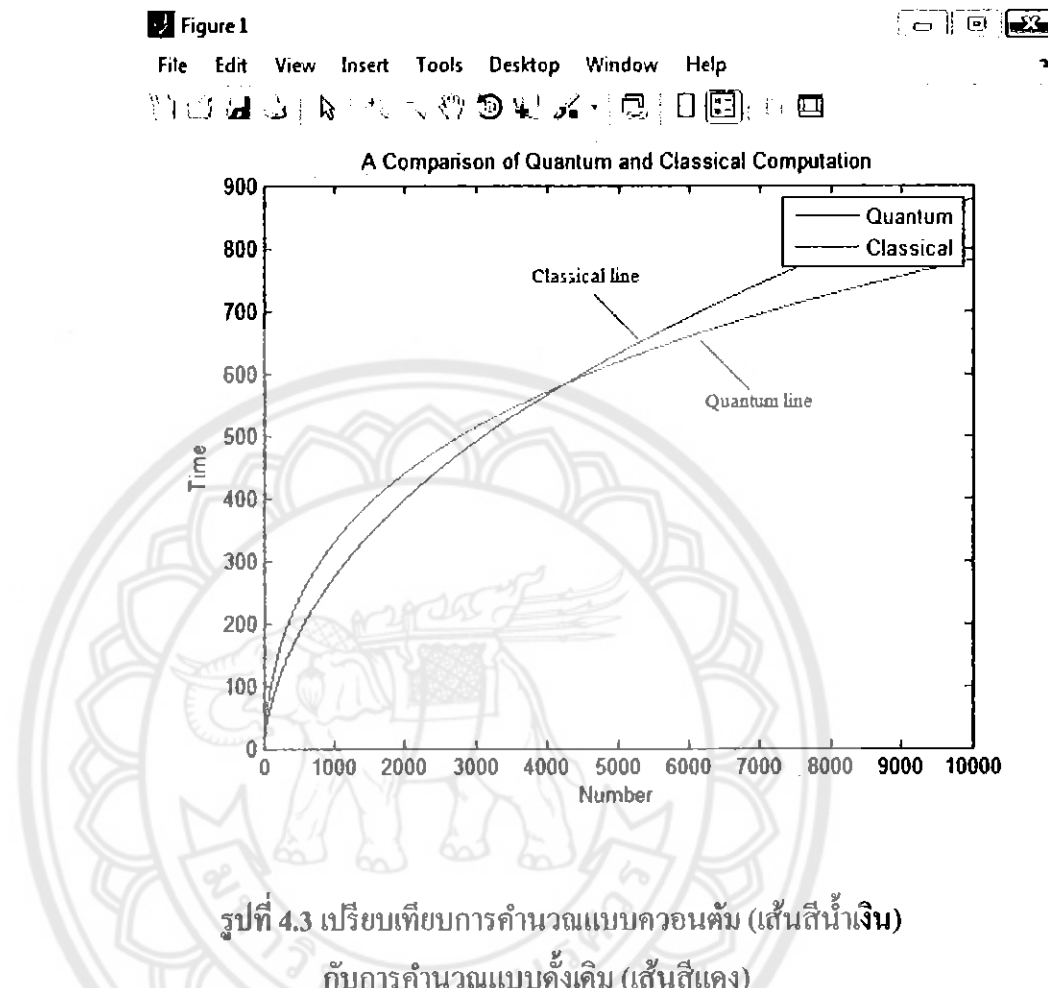
- กำหนดให้  $N = 2519$
- เลือก  $a = 2289$  ซึ่ง ห.ร.ม. ของ 2289 และ 2519 เท่ากับ 1 แสดงว่า 2289 และ 2519 เป็นจำนวนเฉพาะสัมพัทธ์กัน
- ถ้าคับ  $a^x \bmod N$  { $2289^0 \bmod 2519 = 1$ ,  $2289^1 \bmod 2519 = 2289$ ,  $2289^2 \bmod 2519 = 1$ ,  $2289^3 \bmod 2519 = 2289, \dots$ }
- หากาน ถ้าคับในขั้นตอนที่แล้ว มีลักษณะซ้ำ {1,2289,1,2289,...} คั่งนี้ คาน คือ 2 ( $q = 2$ )
- $a^{q/2} + 1 = 2289^1 + 1 = 2290$  และ  $a^{q/2} - 1 = 2289^1 - 1 = 2288$
- หากหารร่วมมาก ห.ร.ม. (2289,2519) = 229 และ ห.ร.ม. (2288,2519) = 11  
คำตอบ ได้ตัวประกอบของ 2519 คือ 229 และ 11 นั่นคือ  $2519 = 229 \times 11$

จากตัวอย่างทั้งหมดสามารถอธิบายได้ดัง เมื่อทำการหาค่าของ การแยกตัวประกอบตามโค้ดในโปรแกรมแมทແลป เป็นไปตามขั้นตอนดังต่อไปนี้

- 1) เราจะกำหนดค่าที่เราต้องการจะแยกตัวประกอบ ( $N$ )
- 2) ทำการสุ่มตัวเลข ( $a$ ) ที่จะนำไปใช้ในการคำนวณ
- 3) หากา  $\text{หาร} \text{ } \text{ของ } (a, N)$  เมื่อค่าที่ได้มีค่าเท่ากับ 1 ถือว่าผ่านสามารถนำไปใช้หาตัวประกอบได้
- 4) หากาบ  $q$  ที่ได้นั้นคือ  $q$
- 5)  $a_1$  คือค่าของ  $a^{q/2} + 1$
- 6)  $a_2$  คือค่าของ  $a^{q/2} - 1$
- 7)  $b_1$  คือค่า  $\text{หาร} \text{ } \text{ของ } (a_1, N)$
- 8)  $b_2$  คือค่า  $\text{หาร} \text{ } \text{ของ } (a_2, N)$
- 9) ตัวประกอบที่แยกได้ของ  $N$  คือ  $b_1$  และ  $b_2$

หมายเหตุ จะพบว่าในตัวอย่างที่ 3 เราต้องการคำนวณการแยกตัวประกอบของ 2519 ซึ่งเป็นจำนวนที่มีค่าค่อนข้างมาก เนื่องจากในโปรแกรมแมทແลปนั้นมีข้อจำกัดในการคำนวณตัวเลขที่มีค่ามากๆ จึงทำให้การสุ่มค่า  $a$  บางครั้งเกิดปัญหานั่นคือการคำนวณค่าที่  $a^x$  ที่สำคัญสูงๆ ทำไม่ได้จะเกิดการ error เกิดขึ้น นอกหากันนั้น ยังไม่สามารถทำการพลีอตกราฟ FFT ได้ เนื่องจากติดปัญหาที่โปรแกรมแมทແลปไม่สามารถพลีอตกราฟค่ามากๆ ได้ และจากการศูนย์ของลำดับพบว่าลำดับของจำนวน 2519 จะใช้ได้แค่ 6 ค่าแรกเท่านั้น เราจึงจำกัดการหา  $q$  ด้วยลำดับเพียงแค่ 6 ตัวแรกเนื่องจากเราจำกัดค่า  $(q)$  ดังนั้น คณะผู้จัดทำจึงได้แก้ปัญหาด้วยการคำนวณคู่ยมือ โดยวิธีการคำนวณย้อนกลับจึงทราบว่ามีค่า  $a$  สองค่าเท่านั้นที่ใช้ได้ คือ  $a$  เท่ากับ 230 และ 2289 ที่จะสามารถแยกตัวประกอบภายใต้เงื่อนไขที่เรากำหนดได้

### 4.3 เปรียบเทียบการคำนวณแบบความตันกับการคำนวณแบบดึงเดิน



รูปที่ 4.3 เปรียบเทียบการคำนวณแบบความตัน (เส้นสีเขียว)

กับการคำนวณแบบดึงเดิน (เส้นสีแดง)

จากรูปที่ 4.3 เป็นกราฟที่แสดงการเปรียบเทียบการคำนวณแบบความตัน กับการคำนวณแบบดึงเดิน ในการแยกตัวประกอบของจำนวนเต็มค่าวิธีของชอร์ โดยที่การคำนวณแบบความตันนั้น จะใช้เวลาในการทำงานเป็นแบบโพลิโนเมียลคือ  $O((\log N)^3)$  (ใช้ได้ในเฉพาะกรณีที่เกี่ยวข้องกับการคำนวณแบบความตัน ในกรณีแยกตัวประกอบจำนวนเฉพาะตัววิธีของชอร์) ส่วนการคำนวณแบบดึงเดิน จะใช้เวลาในการทำงานเป็นแบบเอ็กโพเนนเชียล  $O(e^{1.9(\log N)^{1/3}(\log \log N)^{2/3}})$  (ใช้ได้ในกรณีที่เกี่ยวข้องกับการคำนวณแบบดึงเดิน ในกรณีแยกตัวประกอบจำนวนเฉพาะที่มีจำนวนตัวเลขมากกว่า 100 หลัก) จึงทำให้การคำนวณแบบความตัน มีประสิทธิภาพมากกว่าการคำนวณแบบดึงเดิน เมื่อมีจำนวนตัวเลขที่มากขึ้น โดยจะอาศัยหลักการของการแปลงฟูเรียร์แบบเร็ว (FFT) มาใช้ในการหาค่าของจำนวนนั้นๆ เพื่อทำการแยกตัวประกอบจำนวนเฉพาะต่อไป [11]

## บทที่ 5

### สรุปผลและข้อเสนอแนะ

#### 5.1 สรุปผลจากการศึกษา

ในโครงการนี้ เราได้ศึกษาเรื่อง การคำนวณแบบค่อนต้ม และค่อนต้มคอทโนเลกุล เพื่อนำไปใช้ในการแยกตัวประกอบ โดยใช้อัลกอริทึมของชอร์ ซึ่งพบว่ามีความรวดเร็วและสะดวกกว่าการคำนวณด้วยมือ

##### 5.1.1 ค่อนต้มคอทโนเลกุล

จากการที่ได้ศึกษาพบว่า ค่อนต้มคอทโนเลกุล เป็นโครงสร้างของสารกึ่งตัวนำที่มีความสามารถในการกักเก็บอิเล็กตรอน โดยโครงสร้างที่เราใช้ในการศึกษาคือ ค่อนต้มคอทโนเลกุลแบบคู่ ซึ่งจะมีคุณสมบัติการหับซ้อน และ การพัฒนา ซึ่งทำให้เราสามารถแก้ปัญหาการแยกตัวประกอบด้วยจำนวนเฉพาะได้รวดเร็วขึ้น

##### 5.1.2 การคำนวณแบบค่อนต้ม

การคำนวณแบบค่อนต้มเป็นการคำนวณโดยอาศัยกฎทางฟิสิกส์ค้านกลศาสตร์ค่อนต้ม ซึ่งประกอบด้วย การหับซ้อนและการพัฒนา ออาศัยการแทนค่าของคิวบิตเนื่องจากค่าที่ได้ในคิวบิตสามารถเป็นได้ทั้ง “0” และ “1” จากทฤษฎี ซึ่งพบว่าทำให้เราสามารถคำนวณแบบขนาน และ ทำให้เราสามารถแก้ปัญหาในบางกรณีได้อย่างรวดเร็ว และยังพบว่าในการคำนวณแบบค่อนต้มนั้น ยังสามารถนำไปใช้ประโยชน์ได้อีกหลายอย่างนอกจากการคำนวณค่าค่อนต้มคอท

##### 5.1.3 พื้นฐานการแยกตัวประกอบด้วยอัลกอริทึม

จากการศึกษาพบว่า การแยกตัวประกอบด้วยอัลกอริทึมของชอร์ (Shor's algorithm) เพราะว่ามีคุณสมบัติทันซ้อนซึ่งคำแห่งนั่ง ช่วยให้คำนวณลำดับ  $a^x \text{ mod } N$  โดยผ่านรีจิสเตอร์เพียงครั้งเดียว ซึ่งเมื่อประมวลเวลาที่ใช้หั้งหนดแล้ว จะอยู่ที่อันดับ  $n^3$  เมื่อ  $n$  เป็นความยาวของตัวเลขที่ต้องการแยกตัวประกอบ

จากการทดลองในตัวอย่างของบทที่ 4 เรายังพบว่าการแยกตัวประกอบด้วยวิธีของชอร์นั้น มีความรวดเร็วขึ้นมากกว่าการคำนวณด้วยมือ แต่เนื่องจากโปรแกรมที่ใช้เป็นโปรแกรมแมทແลป์ มีข้อจำกัด และอาจมีความผิดพลาดเกิดขึ้น โดยพบว่าเมื่อทำในโปรแกรมแมทແลป์แล้วค่า  $N$  ที่มีค่า น้อยๆ จะสามารถทำการสุ่มหาค่า  $a$  ได้ง่าย และสามารถหาค่ามาใช้ในการคำนวณได้ แต่เมื่อค่า  $N$

มีค่ามากดังตัวอย่าง จะพบว่าในการสุ่มหาค่า a ที่นำมาใช้ในการแยกตัวประกอบนั้น เป็นไปได้ยาก และในการหาค่าของค่านั้นๆก็จะเป็นไปได้ยากด้วยเห็นแก้ แต่เราจะเห็นได้ว่าเมื่อค่า N มีค่ามากขึ้น จะทำให้ความเร็วในการคำนวณน้อยลง

## 5.2 ปัญหาและแนวทางแก้ไข

จากการศึกษาพบปัญหาในด้านของการสืบค้นเนื้อหา และ การเรียนรู้ทำความเข้าใจ เมื่อจะเข้าใจที่ศึกษานี้ เป็นเรื่องที่มีเนื้อหาอยู่ในระดับขั้นสูง ในที่นี่เราจึงสามารถศึกษา/อธิบายได้ เพียงในระดับเบื้องต้นเท่านั้น นอกจากนี้ การศึกษาที่นำเสนอันนี้ การเขียนต่อระหว่าง โครงสร้าง ความตั้งคอกทโนเลกุล และ การนำไปใช้ในการคำนวณแบบความตั้ม ยังไม่ชัดเจนเท่าที่ควร แนว ทางการแก้ไข คือ ถ้ามีการนำไปศึกษาเพิ่มเติม จะพบว่าในการควบคุมสถานะคิวบิต (อิเล็กตรอนใน ความตั้มคอกทโนเลกุล) สามารถทำได้โดยการควบคุมคัวบิทแสง เพื่อให้การคำนวณคัวบิทอัลกอริทึม เสิงความตั้ม เห็น การแยกตัวประกอบจำนวนเฉพาะ มีความซับซ้อนมากขึ้น



## เอกสารอ้างอิง

- [1] S. Kiravittaya, M.Sawadsaringkarn and S.Panyakeow, "Quantum dots structure for optoelectronic devices"
- [2] S. Kiravittaya, M.Sawadsaringkarn and S.Panyakeow, "InAs/GaAs self-organized quantum dots on (4 1 1)A GaAs by molecular beam epitaxy ", Journal of Crystal Growth, Volumes 227–228, 2001, Pages 1010–1015.
- [3] T. Suzuki, Y. Temko, M.C. Xu, K. Jacobi, "The atomic structure of InAs quantum dots on GaAs (1 1 2)A", Surface Science, Volume 595, December 2005, Pages 194–202.
- [4] S. Kiravittaya, R. Songmuang, A. Rastelli, H. Heidemeyer and O. G. Schmidt, "Multi - scale ordering in self-assembled InAs/GaAs (001) quantum dots", Nanoscale Research Letter, Volume 1, 2006, Pages 1-10.
- [5] ศ. ดร. สมศักดิ์ ปัญญาแก้ว, รศ. ดร. มนตรี สวัสดิ์ศุจามาร, รศ. ดร. บรรยง โตประเสริฐพงษ์ , รศ. ดร. ชุมพล อันตรเสน, รศ. ดร. สมชัย รัตนธรรมพันธ์, รศ. ดร. ทรงพล กาญจนชัย , ดร. ชนินทร์ วิศิวนานนท์, นาย สุกovichai ไถบัน้อย และ นาย พรษัย ช่างม่วง, "รายงานการ วิจัยเรื่อง การวิจัยพื้นฐานสารกึ่งตัวนำที่มีโครงสร้างนาโนแบบขั้คเรียงตัวเอง โดยวิธีปั๊กชั่นผลึก คิวบ์ลามोเลกุล", คณะวิศวกรรมศาสตร์ จุฬาลงกรณ์มหาวิทยาลัย, 2550-2553
- [6] S. Suraprapapich, Y.M. Shen, V.A. Odnoblyudov, Y. Fainman, S. Panyakeow and C.W. Tu, "Self-assembled lateral Bi-quantum-dot molecule formation by gas-source molecular beam epitaxy ", Journal of Crystal Growth, Volumes 301-302, 2007, Pages 735-739.
- [7] นาย พบร พานิชรุทัย และ นาย เกียรติศักดิ์ ศรีพิมานวัฒน์ และ คณะ, "พัฒนาการสารสนเทศ เชิงความตื้น", ชุดหนังสือสารสนเทศเชิงความตื้น 1, 2555
- [8] Y. Wu, X. Li, D. Steel, D. Gammon, L.J. Sham, "Coherent optical control of semiconductor quantum dots for quantum information processing", Physica E : Low - dimensional Systems and Nanostructures, Volume 25, Pages 242–248.
- [9] A. Steane, "Quantum Computing", Reports on Progress in Physics, Volume 61, 1998, Pages 117-173.
- [10] [http://en.wikipedia.org/wiki /Quantum\\_gate](http://en.wikipedia.org/wiki /Quantum_gate)
- [11] [http://en.wikipedia.org/wiki/Shor's\\_algorithm](http://en.wikipedia.org/wiki/Shor's_algorithm)

ภาควิชานวัตกรรม

รายละเอียดเกี่ยวกับ Matlab Code ที่ใช้ในการแยกตัวประกอบด้วยวิธีของชอร์ร์

มหาวิทยาลัยพะเยา

```

disp ('Welcome to "Shor" Factoring Algorithm!!!...');

disp ('_____');

disp ('Please remind that, There are four restrictions for Shor algorithm.');

disp ('1)The number to be factored (N) must be >= 15');

disp ('2)The number to be factored (N) must be "Odd" number');

disp ('3)The number must not be prime');

disp ('4)The number must not be prime power');

disp ('5)The value period (p) must not be "Odd" number');

disp ('_____');

%%Part1: Input and Random value

N = input ('Which number do you want for factorization =');

disp ('The factoring number is...')

disp (N)

a = randi (N-1);

% a=input('The random number(a) =');

disp ('The random number(a) is...')

disp (a)

%%Part2: Check the conditions

while mod (N,2)==0

disp ('The number is "Even"... Please try again!')

N = input ('Which number do you want for factorization =');

end

j = 1:100;

while N==power (a,j)

disp ('The number is "Prime power"... Please try again!')

N = input ('Which number do you want for factorization =');

end

m = gcd(a,N);

disp ('The gcd is... (can use if gcd = 1)')

disp (m)

if m==1;

disp ('Ok!... The number can be factorized');

```

```

for p = 1:N ;
mo(p) = mod (a.^p,N) ;
end

% N=length(y);%get the whole number
t = 0:1:N ;
Fs = 1 ;%sampling rate
Ts = 1/Fs ;%sampling time interval
%%%%Get fft Part%%%%%
k = 0:N-1 ; %create a vector from 0 to N-1
T = N/Fs ;%get the frequency interval
f= k/T ;%create the frequency range
X1 = fft (mo,N) ; %fft to data
X = abs(X1) ;
[sortedValues1,sortIndex] = sort (X(:,1),'descend') ;
maxindex = sortIndex (2:end) ;
index = maxindex (1) ;
freq = f(index) ; %find the period with maximum point
q = round(1/freq)
a1 = round (a.^(q/2))+1
a2 = round (a.^(q/2))-1
b1 = gcd (a1,N)
b2 = gcd (a2,N)
disp ('The factor are...') ;
disp (b1) ; disp (b2) ;
return
end
while m>0 ;
disp ('Random number(a) can not use...Try again!');
a = randi (N-1) ;
disp ('New random number(a) ...') ;
disp (a) ;
m = gcd (a,N) ;

```

```

disp ('The gcd is... (can use if gcd = 1)')
disp (m)

for p = 1:N ;
mo (p) = mod (a.^p,N) ;
end
% N=length(y);%get the whole number
t = 0:1:N-1 ;
Fs = 1 ;%sampling rate
Ts = 1/Fs ;%sampling time interval
%%%%Get fft Part%%%%
k = 1:N ; %create a vector from 0 to N-1
T = N/Fs ;%get the frequency interval
F = k/T ;%create the frequency range
X1 = fft (mo,N) ; %fft to data
X = abs (X1) ;
[sortedValues1,sortIndex] = sort (X(:),'descend') ;
maxindex = sortIndex (2:end) ;
index = maxindex (1) ;
freq = f(index) ; %find the period with maximum point
q = round(1/freq)
a1 = round (a.^(q/2))+1
a2 = round (a.^(q/2))-1
b1 = gcd (a1,N)
b2 = gcd (a2,N)
disp ('The factor are...');
disp (b1) ; disp (b2) ;
return
end

```

ภาคผนวก ข

รายละเอียดเกี่ยวกับ Matlab Code ที่ใช้ในการพล็อตกราฟเปรียบเทียบ  
ความเร็วของการคำนวณแบบค่อนตัมกับการคำนวณแบบดั้งเดิม

พ.ศ.๒๕๖๓

```
N = 10:10000;  
x = power(log(N),3);  
y = exp(1.9*power(log(N),(1/3)).*power(log(log(N)),(2/3)));  
plot(N,x);  
holdon;  
plot(N,y,'r');  
 xlabel('Number');  
 ylabel('Time');  
 title('A Comparison of Quantum and Classical Computation');  
 legend('Quantum','Classical')
```

